



**MODIFIKASI JEMBATAN KALI BLENCONG  
(SISI SELATAN) JAKARTA UTARA DENGAN  
*I – GIRDER PRESTRESS CONCRETE***

**SKRIPSI**

Oleh

**Ika Yuni Fatmala  
NIM 131910301031**

**PROGRAM STUDI TEKNIK SIPIL  
FAKULTAS TEKNIK  
UNIVERSITAS JEMBER  
2017**



**MODIFIKASI JEMBATAN KALI BLENCONG  
(SISI SELATAN) JAKARTA UTARA DENGAN  
*I – GIRDER PRESTRESS CONCRETE***

**SKRIPSI**

diajukan guna melengkapi tugas akhir dan memenuhi salah satu syarat  
untuk menyelesaikan Program studi Teknik Sipil (S1)  
dan mencapai gelar Sarjana Teknik

Oleh

**Ika Yuni Fatmala  
NIM 131910301031**

**PROGRAM STUDI TEKNIK SIPIL  
FAKULTAS TEKNIK  
UNIVERSITAS JEMBER**

**2017**

## PERSEMBAHAN

Dengan penuh rasa syukur, skripsi ini saya persembahkan untuk :

1. Allah SWT dengan segala rahmat dan hidayah-Nya kepada saya;
2. Rasulullah Muhammad SAW yang telah menjadi suri tauladan bagi seluruh umat manusia
3. Orang Tuaku tercinta Bapak Amin Arifandi dan Ibu Fatimah yang telah memberikan dukungan , kasih sayang dan doa tanpa batas kepada saya;
4. Adikku tersayang Dwi Rochmatul Lailiah yang selalu memberikan motivasi;
5. M. Farid Ma'ruf, S.T.,M.T.,Ph.D dan Winda Tri Wahyuningtyas, S.T.,M.T. selaku Dosen Pembimbing;
6. Keluarga keduaku Feni Atik, Tari, Virga, Nila;
7. Teman – teman baikku Reni, Viska, Erli, Pretty, Bang Alex,;
8. Almamater Fakultas Teknik Universitas Jember;

## MOTTO

“Allah SWT akan meninggikan orang–orang yang beriman diantara kamu  
dan orang–orang yang diberi ilmu pengetahuan beberapa derajat”  
(terjemahan Surat *Al-Mujadalah* ayat 1)<sup>1</sup>

*“Don’t compare yourself with anyone in this world; if you do so, you are insulting  
yourself.”*

(Bill Gates)

*“Everything is Possible”*

(Elie Wiesle)

---

<sup>1</sup> Departemen Agama Republik Indonesia. 1998. *Al-Qur'an dan Terjemahannya*. Semarang: PT Kumudasmoro Grafindo.

## PERNYATAAN

Saya yang bertanda tangan dibawah ini:

Nama : Ika Yuni Fatmala

NIM : 131910301031

menyatakan dengan sesungguhnya bahwa karya ilmiah yang berjudul "Modifikasi Jembatan Kali Blencong (Sisi Selatan) Jakarta Utara Dengan *I-Girder Prestress Concrete*" adalah benar-benar hasil karya sendiri, kecuali kutipan yang sudah saya sebutkan sumbernya, belum pernah diajukan pada institusi mana pun, dan bukan karya jiplakan. Saya bertanggung jawab penuh atas keabsahan dan kebenaran isinya sesuai dengan sikap ilmiah yang harus dijunjung tinggi.

Demikian pernyataan ini saya buat dengan sebenarnya, tanpa adanya tekanan dan paksaan dari pihak manapun serta bersedia mendapat sanksi akademik jika ternyata di kemudian hari pernyataan ini tidak benar.

Jember, 25 Juli 2017

Yang menyatakan

Ika Yuni Fatmala

NIM 131910301031

**SKRIPSI**

**MODIFIKASI JEMBATAN KALI BLENCONG  
(SISI SELATAN) JAKARTA UTARA DENGAN  
*I – GIRDER PRESTRESS CONCRETE***

Oleh

Ika Yuni Fatmala

NIM 131910301031

Pembimbing

Dosen Pembimbing Utama : M. Farid Ma'ruf, S.T.,M.T.,P.hD

Dosen Pembimbing Anggota : Winda Tri Wahyuningtyas, S.T.,M.T

## PENGESAHAN

Skripsi berjudul “Modifikasi Jembatan Kali Blencong (Sisi Selatan) Jakarta Utara Dengan *I – Girder Prestress Concrete*” telah diuji dan disahkan oleh Fakultas Teknik Universitas Jember pada :

hari, tanggal : Jumat, 25 Juli 2017

tempat : Ruang Ujian Fakultas Teknik Universitas Jember

Tim Penguji

Ketua,

Sekertaris,

M. Farid Ma'ruf, S.T.,M.T.Ph.D  
NIP. 19721223 199803 1 002

Winda Tri W, S.T.,M.T  
NIP. 760016772

Anggota I,

Anggota II,

Hernu Suyoso, S.T.,M.T  
NIP. 19551112 198702 1 001

Luthfi Amri W., S.T.,M.T  
NIP. 760016771

Mengesahkan  
Dekan Fakultas Teknik

Dr. Ir. Entin Hidayah, M.UM  
NIP.19661215 199503 2 001

## RINGKASAN

**Modifikasi Jembatan Kali Blencong (Sisi Selatan) Jakarta Utara Dengan *I – Girder Prestress Concrete* ; Ika Yuni Fatmala, 131910301031; 2017: 141 halaman; Jurusan Teknik Sipil, Fakultas Teknik, Universitas Jember.**

Jembatan Kali Blencong terletak di Cilincing, Jakarta Utara. Jembatan ini menghubungkan kawasan pergudangan marunda menuju jalan Cakung Cilincing atau Tj. Priok yang terhalang oleh sungai. Berdasarkan informasi dari Dinas Perhubungan dan Transportasi DKI jembatan ini ditutup dari tanggal 23 mei hingga 31 desember 2016, karena mengalami kerusakan pada bagian aspal yang terkelupas hingga dasar jembatan dengan ukuran 1 x 3 meter. Kerusakan ini disebabkan oleh pengalihan arus dari jembatan Kali Blencong sisi utara.

Pada Tugas Akhir ini Jembatan Kali Blencong tersebut direncanakan ulang jembatan yang semula panjang 106 meter dengan menggunakan kombinasi beton prategang dan rangka baja, dimodifikasi menggunakan beton prategang tipe *I Girder* pracetak sepenuhnya yang terbagi atas 3 bentang yaitu: 33 meter, 40 meter, 33meter guna memperlancar mobilitas kendaraan di kawasan tersebut.

Struktur utama jembatan menggunakan material beton pratekan . Metode penegangan yang digunakan yaitu metode pasca tarik. Besarnya gaya prategang awal ditentukan berdsarkan persamaan tegangan yang terjadi pada penampang girder. Tahap berikutnya yaitu menentukan letak tendon yang aman sehingga tegangan yang ditimbulkan memenuhi tegangan ijin yang diisyaratkan.

Berdasarkan analisa perhitungan Sandaran terdiri dari atas dua buah pipa baja galvanis  $\phi$  13,9 cm BJ-37, tiang sandaran dengan profil baja WF (100 x 50 x 5 x 7) setinggi 500 mm, dan dinding sandaran menggunakan beton bertulang dengan tebal

25 cm setinggi 500 mm. Trotoar menggunakan beton bertulang dengan tebal 25 cm. Plat lantai kendaraan menggunakan beton bertulang dengan tebal 20 cm.

Diafragma menggunakan beton bertulang dengan ukuran 20 cm x 128 cm, gelagar utama merupakan beton pratekan dengan  $P = 4123,333 \text{ kN}$  dan *7-wire strand super grade* sebanyak 31 buah yang disebar dalam 3 tendon. Kehilangan gaya pratekan yang terjadi adalah 15,402 %. Lendutan total yang terjadi adalah 10,97 mm ↑.

Tumpuan direncanakan menggunakan elastomer dengan dimensi 700 mm x 550 mm x 120 mm sebanyak 7 lapis. Struktur bawah jembatan didesain dengan menggunakan dimensi *abutment* 7 m x 9,5 m. Untuk pondasi direncanakan pondasi tiang pancang diameter 60 cm dengan kedalaman 20 m dari dasar *abutment*.

## SUMMARY

**Modifications Kali Blencong Bridge (South Side) in North Jakarta Using I-Girder Prestress Concrete** ; Ika Yuni Fatmala, 131910301031; 2017; 141 Pages, Study Programe S1 Civil Engineering, Engineering Faculty, University of Jember.

The location of Kali Blencong bridge is at cilincing, North Jakarta. This bridge is connecting the region of marunda warehousing to cakung cilincing street or Tj. Priok which was blocked by river. Based of the information by Departement of transportation DKI this bridge was closed from 23 may until 31 december 2016, because this bridge having demaged on peeled asphalt until the substructure which having sive 1 x 3 meter. This demaged was caused by stream redirection from the north side of Kali Blencong bridge.

On this script Kali Blencong bridge will replanned which originally a bridge length is 106 meter by using prestressed concrete and steel frame, and this bridge will be modificateed by prestressed concrete with fully precast I- Girder which dicided with 3 span are : 33 meter, 40 meter, 33 meter. Using this way carry out the mobility of vehicles in that area.

The main structure of this bridge was used prestressed concrete girder. Stressing method is post tensioning. Initial prestressed force is determined by the stress equation that is occurred in the cross section of the girder. The next step is to determine the cable layouts which meet the requirement of the allowable stress.

Based from the analysis of parapet calculation consist of two pipes galvanis steel ø13,9 cm BJ-37, pile parapet steel profile WF (100 x 50 x 5 x 7) high 500 mm, and parapet wall willuse reinforced concrete with thick 25 cm, high 500 mm. Side walk will use reinforced concrete with thick 25 cm. Concrete deck slab using reinforced concrete with 20 cm thicness.

Diaphragm beam is using 20 cm x 128 cm reinforced concrete, main girder of this bridge is prestress concrete  $P = 4123,33 \text{ kN}$  has 31 7-wire strand super grade divided in 3 cables. Total loss of prestress is 15,40%. Total of deflections 10,97 mm.

The elastomer plan using with dimentions  $700 \times 550 \times 120 \text{ mm}^3$ . The above structure of the bridge was designed by using abutment with dimentions 7 meter x 9,5 meter. For the foundation planned pile with 60 cm and the depth of foundations 20 meter form the base of the abutment.

## PRAKATA

Puji syukur kehadirat Allah SWT atas limpahan rahmat dan hidayah-Nya sehingga penulis dapat menyelesaikan skripsi yang berjudul "Modifikasi Jembatan Kali Blencong (Sisi Selatan) Jakarta Utara Dengan *I-Girder Prestress Concrete*" Skripsi ini disusun sebagai salah satu syarat untuk menyelesaikan pendidikan strata satu (S1) pada Jurusan Teknik Sipil Fakultas Teknik Universitas Jember.

Selama penyusunan skripsi ini penulis mendapat bantuan dari berbagai pihak, untuk itu penulis mengucapkan terima kasih kepada :

1. Dr. Ir. Entin Hidayah, M.U.M, selaku Dekan Fakultas Teknik Universitas Jember;
2. Ir. Hernu Suyoso, MT. selaku Ketua Jurusan Teknik Sipil, Fakultas Teknik, Universitas Jember;
3. Dr. Anik Ratnaningsih, S.T., M.T. selaku Ketua Program Studi S1 Jurusan Teknik Sipil, Fakultas Teknik, Universitas Jember;
4. M. Farid Ma'ruf, S.T.,M.T.,Ph.D dan Winda Wahyuningtyas, S.T.,M.T. selaku Dosen Pembimbing;
5. Hernu Suyoso, S.T.,M.T. dan Dwi Nurtanto, S.T.,M.T. selaku Dosen Pengaji;
6. Kedua orang tuaku yang tercinta Bapak Amin Arifandi dan Ibu Fatimah yang selalu memberikan dukungan, mendoakan, memberikan nasehat, dan tiada putus – putusnya memberikan semangat;
7. Adik – adikku tersayang Dwi Rochmatullailiah yang selalu mendukung, mengingatkan, dan memberikan semangat dalam mengerjakan tugas akhir;
8. Keluarga keduaku Feni Atik, Tari, Virga, Nila terima kasih atas segala kebersamaan, dukungan, motivasi, kebahagiaan dan bantuan selama berada di kota Jember ini;
9. Teman – teman baikku Reni dan Bang Alex terima kasih atas bantuan dan semangatnya;

10. Keluarga Besar Teknik Sipil 2013 yang tidak dapat saya sebutkan namanya satu-satu yang selalu ada di setiap suka duka selama penulis di Jember dengan segala dukungan, semangat dan doanya;
11. Semua pihak yang tidak dapat disebutkan satu per satu;
12. Almamater Jurusan Teknik Sipil Fakultas Teknik;

Segala kritik dan saran yang membangun sangat penulis harapkan demi kesempurnaan skripsi ini. Akhirnya, semoga skripsi ini dapat bermanfaat bagi penulis maupun pembaca sekalian.

Jember, 25 Juli 2017

Penulis

## DAFTAR TABEL

|   | Halaman |
|---|---------|
| 2.1 Faktor Beban untuk Berat Sendiri.....                               | 8       |
| 2.2 Faktor Beban Untuk Beban Mati Tambahan .....                        | 9       |
| 2.3 Temperatur Jembatan Rata-Rata Nominal .....                         | 12      |
| 2.4 Sifat Bahan Rata-Rata Akibat Temperatur .....                       | 13      |
| 2.5 Nilai Vo dan Zo untuk berbagai variasi kondisi permukaan hulu ..... | 14      |
| 2.6 Tekanan Angin Dasar.....  | 14      |
| 2.7 Kawat-Kawat Untuk Beton Prategang.....                              | 20      |
| 2.8 <i>Standart 7 Kawat Yang Dipadatkan Untuk Beton Prategang</i> ..... | 20      |
| 2.9 Gesekan Kabel .....   | 22      |
| 2.10 Tabel Standar Tendon .....   | 24      |
| 2.11 Kre .....  | 25      |
| 4.1 Perhitungan Momen Inersia Balok Prategang.....                      | 63      |
| 4.2 Perhitungan Momen Inersia Balok Komposit.....                       | 66      |
| 4.3 Respon Gempa Pada Lokasi Ditinjau .....                             | 70      |
| 4.4 Nilai T dan SA Respon Gempa Pada Lokasi Ditinjau .....              | 71      |
| 4.5 Rekapitulasi Momen Akibat Beban .....                               | 74      |
| 4.6 Rekapitulasi Momen dan Gaya Lintang Akibat Gaya Rem.....            | 75      |
| 4.7 Rekapitulasi Momen dan Gaya Lintang Akibat Beban Angin .....        | 76      |
| 4.8 <i>Properties Strand</i> .....                                      | 78      |
| 4.9 <i>Tendon Properties</i> .....                                      | 79      |
| 4.10 Batas Bawah Tendon Pada Segmen 2 (Bentang 40).....                 | 80      |
| 4.11 Batas Atas Tendon Pada Segmen 2 (Bentang 40).....                  | 81      |
| 4.12 Posisi Masing-Masing Tendon Bentang 40.....                        | 82      |
| 4.13 Kontrol tegangan Bentang 40 Akibat Tendon 1.....                   | 85      |
| 4.14 Kontrol Tegangan Bentang 40 Akibat Tendon 2.....                   | 86      |
| 4.15 Kontrol Tegangan Bentang 40 Akibat Tendon 3.....                   | 87      |
| 4.16 Kehilangan Gaya Prategang Akibat Perpendekan Elastis.....          | 88      |
| 4.17 Kehilangan Gaya Prategang Akibat Slip Angkur.....                  | 89      |

|  |     |
|--|-----|
| 4.18 Kehilangan Gaya Prategang Akibat Slip Angkur.....         | 90  |
| 4.19 Distribusi Gaya Lintang.....                              | 99  |
| 4.20 Perhitungan Jarak Antar Stud.....                         | 100 |
| 4.21 Perhitungan Gaya Pada Permukaan <i>End Block</i> .....    | 102 |
| 4.22 Perhitungan Kebutuhan Tulangan <i>Bursting Zone</i> ..... | 103 |
| 4.23 Perhitungan Berat <i>Abutment</i> dan Momen.....          | 111 |
| 4.24 Perhitungan Momen Inersia <i>Abutment</i> .....           | 113 |
| 4.25 Perhitungan Beban Vertikal Tanah Timbunan Dan Momen.....  | 115 |
| 4.26 Kombinasi I = M+H+Ta.....                                 | 117 |
| 4.27 Kombinasi II = M + Ta + Gg + A.....                       | 118 |
| 4.28 Kombinasi III = Kombinasi I + Rm + Gg + A.....            | 118 |
| 4.29 Kombinasi IV = M + Ta + Bg.....                           | 118 |
| 4.30 Kombinasi V = M + Bg + Gg + A.....                        | 119 |
| 4.31 Kombinasi IV = M + Ta + Bg.....                           | 119 |

## DAFTAR GAMBAR

|  | Halaman |
|--|---------|
| Gambar 2.1 Bentuk <i>Abutment</i> .....                              | 5       |
| Gambar 2.2 Cara Meletakkan Tumit.....                                | 5       |
| Gambar 2.3 Macam-Macam Pondasi Secara Umum.....                      | 6       |
| Gambar 2.4 beban lajur “D” .....                                     | 9       |
| Gambar 2.5 Alternatif Penempatan Beban “D” dalam arah memanjang....  | 10      |
| Gambar 2.6 Pembebanan truk”T” (500 kN) .....                         | 11      |
| Gambar 2.7 Faktor Beban Dinamis.....                                 | 11      |
| Gambar 2.8 Central Kern.....   | 12      |
| Gambar 3.1 Lokasi Jembatan.....                                      | 28      |
| Gambar 3.2 Tampak Atas Jembatan Kali Blencong .....                  | 30      |
| Gambar 3.3 Potongan Memanjang Jembatan Kali Blencong .....           | 30      |
| Gambar 3.4 Topografi Jembatan Kali Blencong.....                     | 31      |
| Gambar 3.5 Potongan Melintang Jembatan .....                         | 32      |
| Gambar 3.6 Dimensi <i>I-Girder</i> (dalam mm) .....                  | 33      |
| Gambar 3.7 Diagram Alir .....  | 39      |
| Gambar 4.1 Potongan Melintang Tiang Sandaran .....                   | 42      |
| Gambar 4.2 Profil Tiang Sandaran.....                                | 44      |
| Gambar 4.3 Pembebanan Pada Dinding Sandaran.....                     | 45      |
| Gambar 4.4 Penulangan Dinding Sandaran .....                         | 46      |
| Gambar 4.5 Penulangan Dinding Sandaran .....                         | 47      |
| Gambar 4.6 Pembebanan Pada Trotoar.....                              | 49      |
| Gambar 4.7 Penulangan Lantai Trotoar .....                           | 51      |
| Gambar 4.8 Beban T .....   | 53      |
| Gambar 4.9 Beban 1 Roda Di Tengah Plat .....                         | 53      |
| Gambar 4.10 Penyebaran Beban 1 Roda Di Tengah Plat .....             | 53      |
| Gambar 4.11 Beban 2 Roda Berdekatan Jarak 175 cm Di Tengah Plat .... | 55      |
| Gambar 4.12 Bidang Penyebaran Tekan Roda(bedasarkan SNI 1725:2016)   | 58      |
| Gambar 4.13 Perencanaan Pla Lantai .....                             | 59      |

|   |     |
|---|-----|
| Gambar 4.14 Perencanaan Diafragma.....  | 60  |
| Gambar 4.15 Penulangan Balok Diafragma.....   | 62  |
| Gambar 4.16 Penampang balok Prategang .....   | 63  |
| Gambar 4.17 Penampang Balok Girder Sebelum Komposit .....                                 | 65  |
| Gambar 4.18 Penampang Balok Girder Sesudah Komposit .....                                 | 67  |
| Gambar 4.19 Beban D.....  | 68  |
| Gambar 4.20 Lentur Positif – Bentang 2 .....  | 69  |
| Gambar 4.21 Lentur Positif – Bentang 1.3 .....  | 69  |
| Gambar 4.22 Lentur Negatif – Pilar 1.....   | 69  |
| Gambar 4.23 Lentur negatif – Pilar 1.....   | 69  |
| Gambar 4.24 Lokasi Gempa .....  | 70  |
| Gambar 4.25 Input Respon Spektrum.....  | 72  |
| Gambar 4.26 Posisi Tendon Bentang 40 Hingga Tengah Bentang.....                           | 82  |
| Gambar 4.27 Pengangkutan Girder Pratekan.....   | 94  |
| Gambar 4.28 Penulangan Girder.....  | 95  |
| Gambar 4.29 Rencana Penghubung Geser.....   | 98  |
| Gambar 4.30 Gaya Pada <i>End Block</i> .....  | 101 |
| Gambar 4.31 Perencanaan Elastomer.....  | 106 |
| Gambar 4.32 Struktur Atas .....   | 107 |
| Gambar 4.33 Penulangan Pelat Injak .....  | 110 |
| Gambar 4.36 Bentuk <i>Abutment</i> .....  | 113 |
| Gambar 4.37 Pembebanan Abutment Akibat Beban vertikal Tanah Timbunan .....                | 115 |
| Gambar 4.36 Bentuk <i>Abutment</i> .....  | 116 |
| Gambar 4.37 Perbandingan $Q_u$ ujung tiang, $Q_s$ selimut tiang, dan $Q_{ultimate}$ ..... | 122 |

## DAFTAR LAMPIRAN

|   | Halaman |
|---|---------|
| A.1 Berat Isi Untuk Beban Mati.....   | 122     |
| A.2 Dimensi Atau Profil Girder Pracetak PC I H-210 Sesuai Dengan<br>Tabel WIKA..... | 123     |
| A.3 Tabel <i>Bittner</i> .....  | 124     |
| A.4 Rekapitulasi Momen Akibat Beban Pada Bentang 33 .....                           | 125     |
| A.5 Batas Bawah Tendon Pada Bentang 33 .....  | 125     |
| A.6 Batas Atas Tendon Pada Bentang 33 .....   | 126     |
| A.7 Posisi Masing-Masing Tendon Pada Bentang 33.....                                | 126     |
| A.8 Grafik Posisi Tendon Bentang 33 Hingga Tengah Bentang .....                     | 127     |
| A.9 Kontrol Tegangan Bentang 33 Akibat Tendon 1 .....                               | 128     |
| A.10 Kontrol Tegangan Bentang 33 Akibat Tendon 2 .....                              | 129     |
| A.11 Kontrol Tegangan Bentang 33 Akibat Tendon 3 .....                              | 130     |
| A.12 <i>Bor Log RT</i> .....  | 131     |
| A.13 Perhitungan Daya Dukung .....  | 133     |
| A.14 <i>PC Spun Piles</i> .....   | 134     |

## BAB 1. PENDAHULUAN

### 1.1 Latar Belakang

Jembatan merupakan bagian jalan raya yang berfungsi sebagai penghubung antara dua wilayah yang terpisah akibat adanya rintangan berupa sungai, danau, lembah, jurang dan penghalang lainnya. Sarana penghubung antar daerah ini setiap tahun mengalami perkembangan seiring dengan meningkatnya jumlah penduduk dan tingkat perekonomian di sekitar daerah tersebut.

Jembatan Kali Blencong terletak di Cilincing, Jakarta Utara. Jembatan ini menghubungkan kawasan pergudangan marunda menuju jalan Cakung Cilincing atau Tj. Priok yang terhalang oleh sungai. Konstruksi Jembatan Kali Blencong saat ini memiliki lebar jalan 8 meter dengan 2 lajur 1 arah dan panjang total bentang 106 meter yang terbagi menjadi 3 bentang. Bentang terpanjang sebesar 56 meter menggunakan struktur baja sementara dua bentang yang lebih pendek menggunakan beton prategang, dengan panjang masing-masing bentang 25 meter.

Jembatan Kali Blencong sering menjadi sorotan perbincangan dibeberapa media online seperti situs merdeka.com dan situs berita jakarta, berdasarkan informasi dari Dinas Perhubungan dan Transportasi DKI jembatan ini ditutup dari tanggal 23 mei hingga 31 desember 2016, karena mengalami kerusakan pada bagian aspal yang terkelupas hingga dasar jembatan dengan ukuran 1 x 3 meter. Kerusakan ini disebabkan oleh pengalihan arus dari jembatan Kali Blencong sisi utara. Kendaraan roda empat maupun truk kontainer dialihkan ke jembatan Blencong sisi selatan. Syahril (2014) mengatakan bahwa kemacetan terjadi karena kedua arah harus berbagi di jembatan sisi selatan, kemacetan yang diakibatkan mencapai sekitar 1 kilometer.

Kemacetan diatas jembatan merupakan suatu keadaan yang berbahaya, karena jembatan didesain bukan untuk beban berjalan melainkan beban diam. Peraturan Menteri Pekerja Umum (2011), menyebutkan bahwa pada saat pengoprasian jalan, kendaraan dilarang berhenti diatas jembatan.

Pada Tugas Akhir ini Jembatan Kali Blencong tersebut direncanakan ulang jembatan yang semula panjang 106 meter dengan menggunakan kombinasi beton prategang dan rangka baja, dimodifikasi menggunakan beton prategang tipe *I Girder* pracetak sepenuhnya yang terbagi atas 3 bentang yaitu: 33 meter, 40 meter, 33meter.

Penggunaan profil *I girder* dipilih karena dianggap mudah dalam proses pembuatan, dan mudah pelaksanaannya di lapangan. (Annur. D, dan Tarigan. J, 2013). Selain itu bentuk *I girder* cukup memenuhi nilai estetika pada bangunan jembatan sehingga penggunaannya mampu menambah keindahan kota, karena jembatan yang menggunakan kombinasi beton pratekan dan rangka baja dirasa kurang menarik karena tampilannya yang kurang harmonis.

Sekarang ini telah dikenal beton prategang, yakni beton yang mengkombinasikan baja mutu tinggi dan beton berkekuatan tinggi dengan cara “aktif”, dengan cara menarik baja dan menahannya ke beton. Sehingga membuat beton dalam keadaan tertekan, jadi seluruh penampang beton prategang menjadi efektif. Menurut Hueste. M, Mander. J, dan Parkar. A (2012), bahwa selama 60 tahun penggunaan girder beton prategang sistem pracetak telah digunakan secara efektif diberbagai negara karena daya tahannya, efisien dalam pengangkutan, serta menyajikan solusi biaya yang efektif dengan kemampuan layan yang baik dan perawatan yang minimal.

Jadi perencanaan ulang ini penting dilakukan agar tersedia fasilitas jembatan yang dapat menampung seluruh kendaraan yang akan melintas.

## 1.2 Rumusan Masalah

Berdasarkan latar belakang di atas , maka permasalahan yang didapatkan adalah sebagai berikut :

1. Bagaimana *re-design* bangunan jembatan *I girder* yang aman untuk jembatan Kali Blencong, Jakarta Utara?

### **1.3 Tujuan**

Berdasarkan rumusan masalah yang ada, maka tujuan pembuatan tugas akhir ini adalah untuk mendesain jembatan beton prategang yang aman untuk jembatan Kali Blencong sesuai SNI 1725-2016 (standar pembebanan jembatan), RSNI T-12-2004 (Perencanaan Struktur beton untuk jembatan).

### **1.4 Manfaat**

Dapat dijadikan salah satu solusi alternatif dalam menghadapi permasalahan jembatan dengan kondisi tersebut dan sebagai salah satu desain struktur jembatan di lokasi tersebut

### **1.5 Batasan Masalah**

1. Hanya meninjau pada bentang terpanjang.
2. Tidak merencanakan pier
3. Tidak membahas metode pelaksanaan jembatan.
4. Tidak memperhitungkan analisa anggaran biaya pembangunan dan relisasi
5. Tanpa memperhitungkan dinding penahan tanah (*wing wall* dan *back wall*).

## BAB 2 LANDASAN TEORI

### 2.1 Tinjauan Umum Jembatan

Secara umum suatu jembatan berfungsi untuk melayani arus lalu lintas dengan baik, dalam perencanaan dan perancangan jembatan sebaiknya mempertimbangkan fungsi kebutuhan transportasi, persyaratan teknis dan estetika-arsitektural yang meliputi : Aspek lalu lintas, Aspek teknis, dan Aspek estetika (Supriyadi dan Muntohar, 2007).

### 2.2 Struktur Atas

Konstruksi jembatan terdiri dari struktur atas dan struktur bawah. Struktur atas merupakan bagian atas suatu jembatan yang berfungsi sebagai pemikul langsung beban lalu lintas yang melewatinya, kemudian diteruskan pada bangunan dibawahnya. Konstruksi bangunan atas (*superstruktur*) jembatan meliputi, Sandaran (*railing*), trotoar, pelat lantai, gelagar jembatan, diafragma.

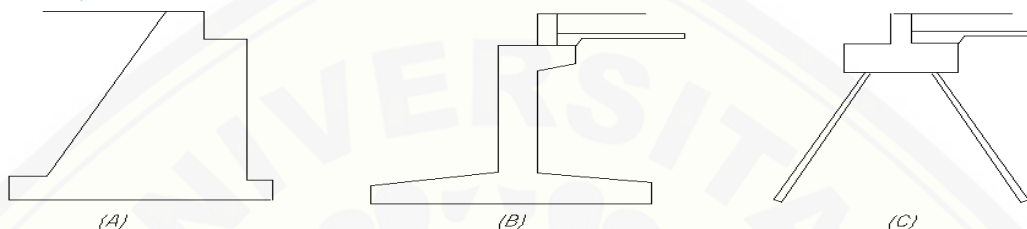
- Girder atau gelagar merupakan balok yang membentang secara memanjang maupun melintang yang berfungsi untuk menerima beban dari atas jembatan dan menyalirkannya ke struktur bawah jembatan
- Railing atau tiang sandaran pada jembatan berfungsi - *Railing* atau tiang sandaran pada jembatan berfungsi sebagai pembatas dan keperluan keamanan untuk pengguna jembatan.
- Plat lantai jembatan merupakan bagian dari struktur atas jembatan dimana merupakan tempat kendaraan untuk lewat. Secara fungsi, plat lantai jembatan merupakan struktur pertama yang menerima beban dan meneruskannya ke gelagar utama.

### 2.3 Struktur Bawah

Struktur bawah mempunyai 2 macam bangunan, yakni bangunan *abutment* dan bangunan pilar. Berikut ini adalah penjelasan mengenai struktur bawah :

### 2.3.1 *Abutment*

Karena letak *abutment* yang berada di ujung jembatan maka *abutment* ini berfungsi juga sebagai penahan tanah. Umumnya *abutment* dilengkapi dengan konstruksi sayap yang berfungsi menahan tanah dalam arah tegak lurus as jembatan. Bentuk *abutment* dapat dilihat pada gambar 2.1 dibawah ini :

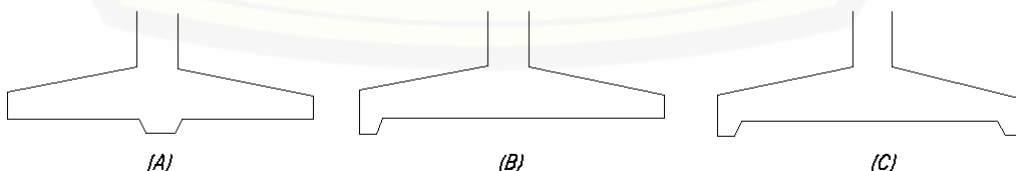


Gambar 2.1 Bentuk *Abutment*

(Sumber : Jurnal 2TS1 1921 UAJY, 2010)

*Abutment* pada gambar 2.1. sering dijumpai baik pada jembatan-jembatan baru dan jembatan-jembatan lama. Gambar 2.1(A). menunjukkan *abutment* dari pasangan batu, dan gambar 2.1(B) dan 2.1(C) dari beton bertulang (*reinforced concrete*).

Pada perencanaan kali ini digunakan *abutment* dari beton bertulang. Selain beban vertikal dan momen, terkadang gaya horizontal yang timbul cukup besar. Sehingga dalam perhitungan masih didapatkan koefisien keamanan terhadap geser yang belum memenuhi persyaratan, maka bisa menggunakan cara lain dengan cara memberikan semacam kaki atau tumit pada bidang pondasinya. Cara meletakkan tumit bisa dilihat pada gambar 2.2 dibawah ini:



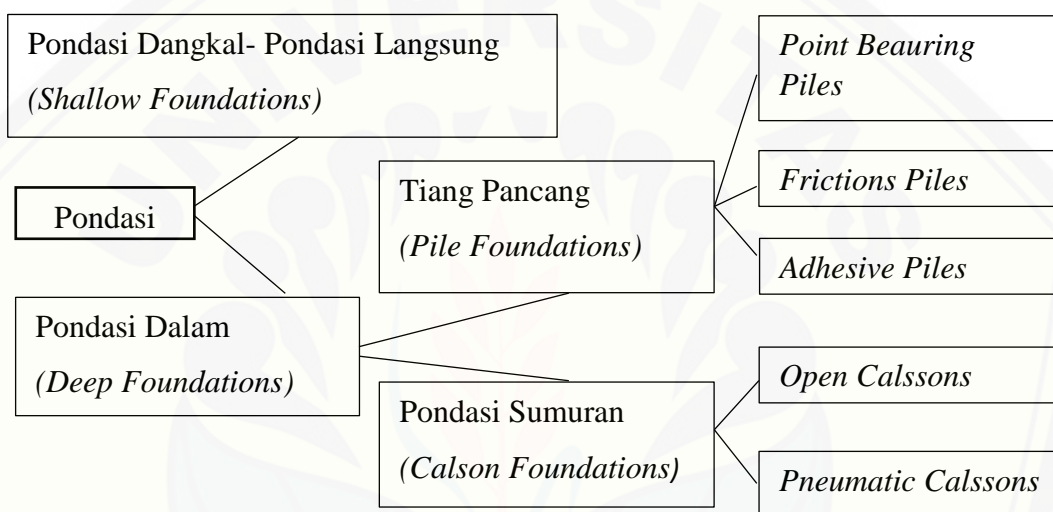
Gambar 2.2 Cara Meletakkan Tumit

(Sumber : Jurnal 2TS1 1921 UAJY, 2010)

### 2.3.2 Pondasi

Pondasi adalah suatu konstruksi pada bagian bawah (substructure) yang meneruskan beban dari bagian atas struktur (superstructure) ke lapisan tanah dibawahnya dengan tidak mengakibatkan keruntuhan geser tanah dan penurunan tanah saat penurunan pondasi yang berlebihan (Sholeh. M, 2008).

Macam-macam pondasi secara umum dapat digambarkan seperti gambar 2.3 berikut ini:



Gambar 2.3 Macam – macam Pondasi Secara Umum

(Sumber : Jurnal 2TS1 1921 UAJY, 2010)

Pada perencanaan jembatan ini digunakan pondasi tiang pancang.

Menurut Sholeh (2008), ada 3 jenis pondasi tiang yaitu:

- 1) Tiang tahanan ujung (*End/Point Bearing Pile*), yaitu : tiang yang meneruskan beban melalui ujungnya ke lapisan keras/baik dengan kuat dukung tinggi.
- 2) Tiang gesekan (*Friction Pile*), yaitu : tiang yang meneruskan beban melalui gesekan antara permukaan tiang dengan tanah sekelilingnya (untuk jenis tanah pasir/nilai kuat geseknya [ $\phi$ ] tinggi).
- 3) Tiang lekatan (*Adhesive Pile*), yaitu : tiang yang meneruskan beban melalui lekatan antara permukaan tiang dengan tanah sekelilingnya (untuk jenis tanah lempung/nilai kohesinya [ $c$ ] tinggi)

## 2.4 Dasar Perencanaan Jembatan

Dasar-dasar umum perencanaan jembatan dijelaskan dalam Peraturan Perencanaan Teknik Jembatan (*BMS/Bridge Management System*) Bagian 1. Adapun keadaan batas yang perlu dipahami dalam proses perencanaan jembatan yaitu:

### 1. Keadaan Batas Ultimit

Aksi-aksi yang menyebabkan sebuah jembatan menjadi tidak aman disebut aksi-aksi ultimit dan reaksi yang diberikan jembatan terhadap aksi itu disebut Keadaan Batas Ultimit. Sebuah aksi ultimit didefinisikan yang mempunyai 5% kemungkinan dilampaui selama umur rencana jembatan.

### 2. Keadaan Batas Layan

Keadaan Batas Layan adalah perubahan bentuk yang permanen pada bahan pondasi atau pada sebuah elemen penyangga utama setempat, kerusakan permanen akibat korosi, retakan atau kelelahan, getaran, dan banjir pada jaringan jalan dan tanah di sekitar jembatan serta kerusakan karena penggerusan pada palung saluran, tepi sungai dan tanggul jalan.

Aksi yang menyebabkan Keadaan Batas Layan disebut Aksi Daya Layan. Aksi Daya Layan mempunyai 5% kemungkinan dilampaui per tahun.

## 2.5 Pembebanan Pada Struktur Atas

Pembebanan pada struktur atas jembatan digunakan untuk mencari total gaya yang berkerja pada struktur atas jembatan. Pada Peraturan Pembebanan Jembatan SNI 1725-2016, pembebanan pada struktur jembatan dibagi atas beberapa, yaitu :

### 2.5.1 Beban Permanen

- Beban Umum

Beban mati jembatan merupakan kumpulan berat setiap komponen struktural dan nonstruktural. Setiap komponen ini harus harus dianggap sebagai suatu kesatuan aksi yang tidak terpisahkan pada waktu menerapkan

faktor beban normal dan faktor beban terkurangi . Berat isi untuk beban mati (Terlampir pada lampiran 4.2).

- **Berat Sendiri (SNI 1725-2016)**

Berat sendiri adalah berat dari bagian tersebut dan elemen struktural yang dipikul ditambah dengan elemen non structural yang dianggap tetap. Faktor Beban untuk Berat Sendiri dapat dilihat pada tabel 2.1 dibawah ini:

Tabel 2.1 Faktor Beban untuk Berat Sendiri

|       |                      | Faktor Beban |       |            |
|-------|----------------------|--------------|-------|------------|
|       |                      | Jangka Waktu |       | KU;; MS    |
|       |                      | KS ;; MS     | Biasa | Terkurangi |
| Tetap | Baja, aluminium      | 1,0          | 1,1   | 0,9        |
|       | Beton pracetak       | 1,0          | 1,2   | 0,85       |
|       | Beton dicor ditempat | 1,0          | 1,3   | 0,75       |
|       | Kayu                 | 1,0          | 1,4   | 0,7        |

(Sumber : Peraturan Pembebatan Untuk Jembatan SNI 1725-2016)

- **Beban Mati Tambahan (SNI 1725-2016)**

Beban mati tambahan adalah berat seluruh bahan yang membentuk suatu beban yang merupakan elemen non struktural dn mungkin besarnya akan berubah. faktor beban untuk beban mati tambahan dapat dilihat pada tabel 2.2 dibawah ini :

Tabel 2.2 Faktor Beban untuk Beban Mati Tambahan

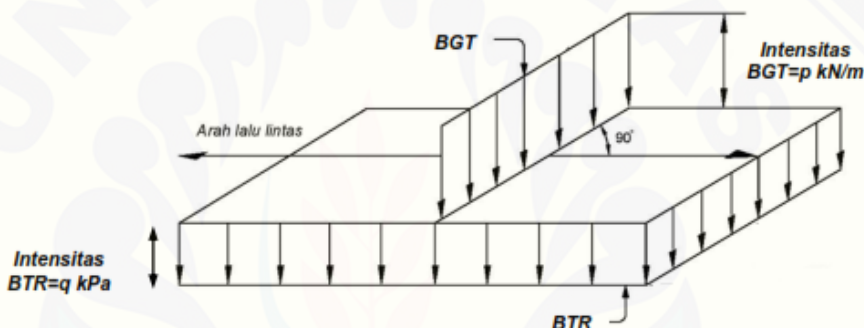
|  |  | Faktor Beban                           |  |                    |
|--|--|--|--|--------------------|
|  |  | Keadaan Batas Layan( $\gamma^s_{MA}$ ) | Keadaan Batas Ultimit( $\gamma^U_{MA}$ ) |                    |
|  |  | Tipe Beban                             | Keadaan                                  | Biasa              |
|  |  |  |  | Terkurangi         |
|  |  | Tetap                                  | Umum                                     | 1,0 <sup>(1)</sup> |
|  |  |  |  | 2,0                |
|  |  |  |  | 0,7                |

Khusus (terawasi) 1,0 1,4 0,8

(Sumber : Peraturan Pembebanan Untuk Jembatan SNI 1725-2016)

### **2.5.2 Beban Hidup (SNI 1725-2016)**

- Beban Lalu Lintas : beban lalu lintas dalam pembebanan jembatan terdiri dari beban lajur “D” dan beban truk “T”
    1. Beban Lajur “D”
      - a. Beban lajur merupakan gabungan dari beban merata (BTR) dan beban garis (BGT) yang bekerja pada jembatan seperti terlihat dalam gambar



Gambar 2.4 Beban Lajur “D”

(Sumber : Peraturan Pembebasan Untuk Jembatan SNI 1725-2016)

BTR mempunyai besaran  $q$  kPa yang diperoleh dari ketentuan sebagai berikut :

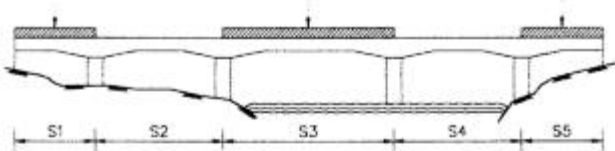
L ≤ 30 m q = 9,0 kPa..... 2.1

dengan :

$q$  = Intensitas beban terbagi rata (BTR) dalam arah memanjang jembatan

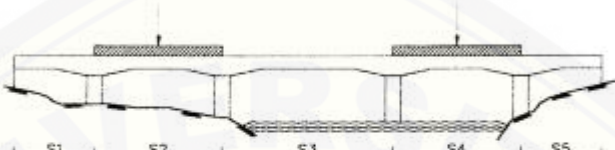
L = panjang total jembatan yang dibebani

- b. Beban garis (BGT) dengan intensitas  $p$  kN/m harus ditempatkan tegak lurus arah lalu lintas pada jembatan. Besarnya intensitas  $p$  adalah 49,0 kN/m. Adapun pembebanan dapat dilihat pada gambar 2.5 sebagai berikut :



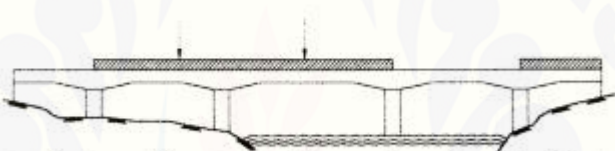
Untuk momen lentur maksimum di bentang 1: Tempatkan BGT di bentang 1 (bentang 5 serupa) ambil L = pengaruh terburuk dari S<sub>1</sub>; S<sub>1</sub>+S<sub>2</sub>; atau S<sub>1</sub>+S<sub>2</sub>+S<sub>3</sub>  
Untuk momen lentur maksimum di bentang 3: Tempatkan BGT di bentang 3  
ambil L = pengaruh terburuk dari S<sub>3</sub>; S<sub>2</sub>+S<sub>3</sub>; atau S<sub>2</sub>+S<sub>3</sub>+S<sub>4</sub>

#### a. MOMEN LENTUR POSITIF – BENTANG 1,3,5



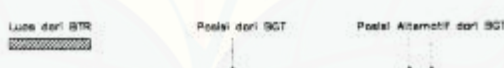
Untuk momen lentur maksimum di bentang 2: Tempatkan BGT di bentang 2  
ambil L = pengaruh terburuk dari S<sub>2</sub>; atau S<sub>2</sub>+S<sub>3</sub>  
Untuk momen lentur maksimum di bentang 4: Tempatkan BGT di bentang 4  
ambil L = pengaruh terburuk dari S<sub>4</sub>; atau S<sub>3</sub>+S<sub>4</sub>

#### b. MOMEN LENTUR POSITIF – BENTANG 2,4



Untuk momen lentur maksimum di pilar 2: Tempatkan BGT di bentang 2 dan 3  
ambil L = pengaruh terburuk dari S<sub>2</sub>+S<sub>3</sub> atau S<sub>2</sub>+S<sub>3</sub>+S<sub>4</sub>

#### c. MOMEN LENTUR NEGATIF PADA PILAR

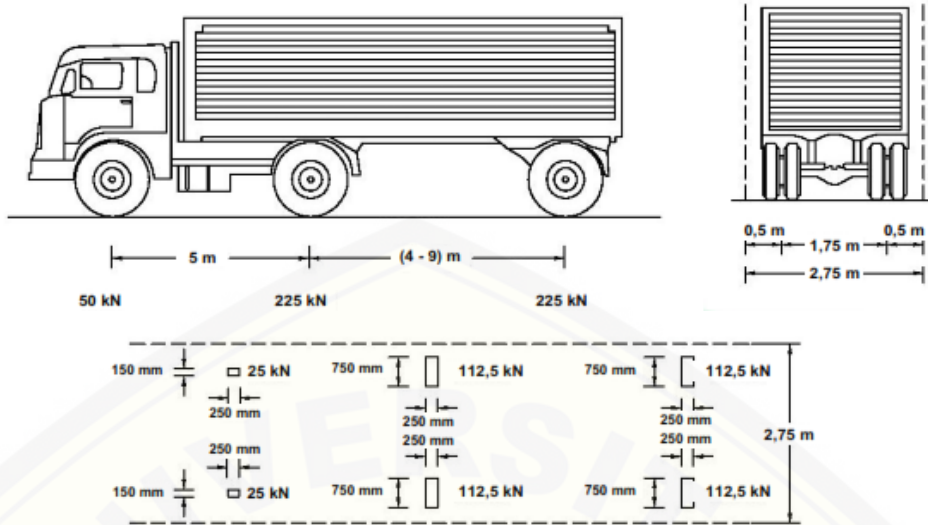


Gambar 2.5 Alternatif penempatan beban “D” dalam arah memanjang

(Sumber : Peraturan Pembebanan Untuk Jembatan SNI 1725-2016)

## 2. Beban Lajur “T”

Merupakan beban kendaraan truk yang digunakan untuk perhitungan struktur lantai. Pembebanan truk “T” terdiri atas kendaraan truk *semi-trailer* yang mempunyai susunan dan berat gandar seperti pada gambar 2.6. Berat dari masing masing gandar disebarluaskan menjadi 2 beban merata sama besar yang merupakan bidang kontak antara roda dengan permukaan lantai. Jarak antara 2 gandar tersebut dapat diubah - ubah antara 4,0 m sampai 9,0 m untuk mendapatkan pengaruh terbesar pada arah memanjang jembatan.

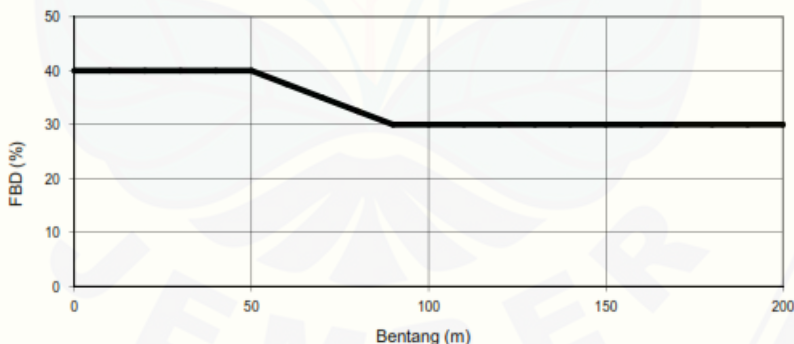


Gambar 2.6 Pembebanan Truk "T" (500 kN)

(Sumber : Peraturan Pembebanan Untuk Jembatan SNI 1725-2016)

### 3. Faktor Beban Dinamis

FBD ini berlaku akibat interaksi beban bergerak yang berpengaruh pada jembatan. FBD dapat ditentukan dengan memperhatikan bentang jembatan pada gambar 2.7 berikut:



Gambar 2.7 Faktor Beban Dinamis

(Sumber : Peraturan Pembebanan Untuk Jembatan SNI 1725-2016)

### 4. Beban Pejalan Kaki

Semua komponen trotoar yang lebih lebar dari 600 mm harus direncanakan memiliki beban pejalan kaki dengan intensitas 5 kPa dan dianggap bekerja secara bersamaan dengan kendaraan pada masing-masing lajur kendaraan. Jika trotoar berubah fungsi menjadi lajur kendaraan, maka beban hidup kendaraan harus diterapkan pada jarak

250 mm dari tepi dalam parapet. Dalam hal ini, faktor beban dinamis tidak perlu diperhitungkan.

## 5. Gaya Rem

Berdasarkan SNI 1725-2016 , gaya rem harus diambil yang terbesar dari : a. 25% dari berat gandar truk desain atau,  
b. 5% dari berat truk rencana ditambah beban lajur terbagi rata BTR

### **2.5.3 Faktor Lingkungan**

- Temperatur merata (Eun)

Perbedaan antara temperatur minimum atau maksimum dengan temperatur nominal seperti pada tabel 2.3 yang diasumsikan dalam perencanaan harus digunakan untuk menghitung pengaruh akibat deformasi yang terjadi akibat perbedaan suhu seperti pada rumus berikut :

Dimana: L = panjang komponen jembatan (mm)

$\alpha$  = koefisien muai temperatur (mm/mm/ °C)

Tabel 2.3 Temperatur jembatan rata-rata nominal

| Tipe bangunan atas  | Temperatur jembatan rata-rata minimum (1) | Temperatur jembatan rata-rata maksimum |
|---|---|--|
| Lantai beton diatas gelagar/boks beton  | 15°C                                      | 40°C                                   |
| CATATAN (1) temperatur jembatan rata-rata minimum bisa dikurangi 5°C untuk lokasi yang terletak diketinggian lebih besar dari 500 m diatas permukaan laut |   |  |

(Sumber : Peraturan Pembebatan Untuk Jembatan SNI 1725-2016)

Tabel 2.4 Sifat bahan rata-rata akibat pengaruh temperatur

| Bahan               | Koefisien perpanjangan<br>akibat suhu ( $\alpha$ ) | Modulus<br>Elastisitas (Mpa) |
|---------------------|--|------------------------------|
| Baja                | $12 \times 10^{-6}$ per °C                         | 200.000                      |
| Beton:              |  |                              |
| Kuat tekan < 30 Mpa | $10 \times 10^{-6}$ per °C                         | $4700 \sqrt{f_c'}$           |
| Kuat tekan > 30 Mpa | $11 \times 10^{-6}$ per °C                         | $4700 \sqrt{f_c'}$           |

(Sumber : Peraturan Pembebasan Untuk Jembatan SNI 1725-2016)

- Pengaruh penyusutan dan rangkak/ *SH* (SNI 1725-2016)

Pengaruh susut dan rangkak harus diperhatikan, terutama dalam perencanaan jembatan beton. Apabila rangkak dan susut bisa mengurangi pengaruh muatan lainnya, maka harga dari rangkak dan susut diambil yang minimum (misalnya pada waktu transfer dari beton prategang).

- Pengaruh Prategang/ *PR* (SNI 1725-2016)

Prategang akan menyebabkan pengaruh sekunder pada komponen yang terkekang pada bangunan statis tak tentu. Pengaruh ini harus diperhitungkan baik pada batas daya layan maupun batas limit

- Beban Angin

Tekanan angin disebabkan oleh angin rencana dengan kecepatan daar ( $V_B$ ) sebesar 90 hingga 126 km/jam. Untuk jembatan dengan elevasi lebih tinggi dari 10000 mm diatas permukaan tanah atau permukaan air, kecepatan angin rencana dihitung dengan persamaan sebagai berikut :

dimana:  $V_{DZ}$  = kecepatan angin rencana pada elevasi rencana, Z (km/jam)

$V_{10} = V_B$  = kecepatan angin rencana yaitu 90 s/d 126 km/jam pada elevasi 1000 mm

$Z$  = elevasi struktur diukur dari permukaan tanah atau dari permukaan air dimana beban angin dihitung ( $Z > 10000$  mm)

$V_o$  = Kecepatan gesekan angin, yang merupakan karakteristik meteorologi, sebagaimana ditentukan pada tabel 2.3, untuk berbagai macam tipe permukaan di hulu jembatan (km/jam)

$Z_o$  = Panjang gesekan di hulu jembatan angin , sebagaimana ditentukan pada tabel 2.5 (mm)

Tabel 2.5 . Nilai  $V_o$  dan  $Z_o$  untuk berbagai variasi kondisi permukaan hulu

| Kondisi                 | Lahan Terbuka | Sub Urban | Kota |
|-------------------------|---------------|-----------|------|
| V <sub>o</sub> (km/jam) | 13,2          | 17,6      | 19,3 |
| Z <sub>o</sub> (mm)     | 70            | 1000      | 2500 |

(Sumber : Peraturan Pembebanan Untuk Jembatan SNI 1725-2016)

Arah angin rencana harus diasumsikan horizontal, kecuali ditentukan lain dalam pasal 9.6.3 pada SNI 2016. Tekanan angin rencana dalam Mpa dapat ditetapkan dengan menggunakan persamaan sebagai berikut:

Dimana :  $P_B$  adalah tekanan angin dasar seperti yang ditentukan dalam tabel 2.6 (Mpa)

Tabel 2.6 Tekanan angin dasar

| Komponen bangunan atas        | Angin tekan<br>(Mpa) | Angin hisap<br>(Mpa) |
|-------------------------------|----------------------|----------------------|
| Rangka, kolom, dan pelengkung | 0,0024               | 0,0012               |
| Balok                         | 0,0024               | N/A                  |
| Permukaan datar               | 0,0019               | N/A                  |

(Sumber : Peraturan Pembebasan Untuk Jembatan SNI 1725-2016)

Gaya total beban angin tidak boleh diambil kurang dari 4,4 kN/mm pada balok atau gelagar.

- Beban Gempa

Perhitungan pengaruh gempa terhadap jembatan termasuk beban gempa, cara analisis, peta gempa, dan detail struktur mengacu pada SNI 2833:2008 *Standart perencanaan ketahanan gempa untuk jembatan*.

Beban gempa diambil sebagai gaya horizontal yang ditentukan berdasarkan rumus sebagai berikut :

dimana:  $E_Q$  = gaya gempa horizontal statis (kN)

$C_{SM}$  = koefisien respons gempa elastis diperoleh dari peta percepatan batuan dasar dan spektra percepatan sesuai dengan daerah gempa \

$R_D$  = faktor modifikasi respons

$W_T$  = berat total struktur terdiri dari beban mati dan beban hidup yang sesuai (kN)

Dari perhitungan struktur atas jembatan didapatkan total gaya yang bekerja pada struktur atas jembatan yang nantinya akan disalurkan pada struktur bawah.

## **2.6 Pelat Lantai Kendaraan**

Pelat lantai kendaraan merupakan elemen yang mempunyai fungsi penting seperti yang dijelaskan pada subbab 2.1. Adapun tahapan perencanaan lantai kendaraan sebagai berikut :

### **2.6.1 Penentuan Tebal Pelat Lantai**

Pelat lantai kendaraan harus memenuhi persyaratan tebal minimum sebagaimana diatur dalam RSNI T-12-2004, yaitu:

$t_s \geq 200$  mm ..... 2.7

dengan :  $l$  = bentang pelat diukur dari pusat ke pusat tumpuan (m)

### 2.6.2 Pembebanan dan Statika Pelat Lantai Kendaraan

Pembeban pelat lantai kendaraan meliputi beban mati dan beban hidup sebagaimana dijelaskan pada sub bab 2.3. Sedangkan untuk statika pelat lantai ditinjau masing-masing pembebanan sehingga diperoleh momen lentur akibat beban mati dan momen lentur akibat beban hidup. Kemudian kedua momen lentur tersebut dikombinasikan untuk memperoleh momen ultimit yang nantinya digunakan dalam perencanaan penulangan pelat lantai kendaraan.

### **2.6.3 Penulangan Pelat Lantai Kendaraan**

Berikut ini tahapan perencanaan penulangan pelat lantai kendaraan:

a. Menghitung rasio tulangan,

b. Menghitung momen nominal

Momen nominal diperoleh dari rumus berikut:

dengan :  $\phi$  = faktor reduksi yang besarnya 0,80

c. Menghitung tahanan momen nominal

Dengan :  $b =$  lebar pelat yang ditinjau (1000 mm)

$d$  = tinggi efektif yang diperoleh dari selisih tebal pelat dengan tebal selimut beton

d. Menghitung tahanan momen maksimum

e. Kontrol  $R_n < R_{max}$

f. Menghitung rasio tulangan yang diperlukan.

g. Menentukan rasio tulangan yang digunakan.

Penentuan rasio tulangan yang akan digunakan untuk perhitungan berikutnya harus memenuhi persyaratan berikut:

jika  $\rho < \rho_{min}$ , maka digunakan  $\rho_{min}$

jika  $\rho_{min} < \rho < \rho_{max}$ , maka digunakan  $\rho$

jika  $\rho < \rho_{max}$ , maka digunakan  $\rho_{max}$

h. Menghitung luas tulangan yang diperlukan

As =  $\rho$ . b. d..... 2.16

Luas tulangan yang telah dihitung harus memenuhi persyaratan minimum yang telah ditetapkan dalam RSNI T-12-2004 untuk pelat lantai yang ditumpu balok atau dinding,

- i. Menentukan jarak antar tulangan

dengan :  $dt$  = diameter tulangan yang digunakan

Berdasarkan RSNI T-12-2004, untuk tulangan bagi pada arah memanjang jembatan diambil 30%-67% dari luas tulangan lentur ( $As$ ).

## 2.7 Beton Prategang

Beton pratekan atau beton prategang merupakan beton bertulang yang telah diberikan tegangan tekan dalam untuk mengurangi tegangan tarik potensial dalam beton akibat beban kerja (Manual Perencanaan Beton Pratekan Untuk Jembatan Dirjen Bina Marga, 2011).

Dalam perencanaan dan konstruksi jembatan, sistem paska tarik sering digunakan dengan menggunakan beton pracetak sebagai material betonnya. Fabrikasi beton pracetak untuk beton prategang telah banyak berkembang. Untuk persyaratan ukuran dan jenis penampang gelagar beton pratekan telah diatur dalam AASHTO.

### 2.7.1 Beton

- Kuat tekan

Dalam hal komponen struktur beton prategang sehubungan dengan pengaruh gaya prategang pada tegangan dan regangan beton baik dalam jangka waktu pendek maupun jangka waktu panjang, maka kuat tekan beton disyaratkan untuk tidak lebih rendah dari 30 Mpa (Badan Standardisasi Nasional, 2004:11).

- Perhitungan gaya prategang

Merencanakan gaya prategang sehingga didapatkan tegangan awal

Merencanakan gaya prategang

$$\sigma_{\text{atas}} : \frac{Fo}{A} - \frac{Fo \times e}{Wt} + \frac{MG}{Wt} ..... 2.19$$

$$\sigma_{\text{bawah}} : \frac{Fo}{A} + \frac{Fo \times e}{Wt} - \frac{MG}{Wt} ..... 2.20$$

- Tegangan ijin

Tegangan ijin penampang beton dihitung pada kondisi transfer gaya prategang dan pada kondisi beban layan. Berdasarkan RSNI-T-12-2004 tegangan ijin ditentukan sebagai berikut:

- a. Tegangan ijin beton setelah penyaluran gaya prategang / kondisi transfer

- Tegangan Tekan :  $\sigma_{ci} = 0,6 f'_{ci}$  ..... 2.21

- Tegangan Tarik :  $\sigma_{ti} = 0,25\sqrt{f_{ci}}$ .....2.22

- b. Tegangan ijin beton setelah kehilangan prategang / kondisi layan

- Tegangan Tekan :  $\sigma_{ci} = 0,45 f'_{ci}$ .....2.23

- Tegangan Tarik :  $\sigma_{ti} = 0.5\sqrt{f_{ci}}$ .....2.24

dengan :  $F_{ci}$  =kuat tekan pada saat transfer gaya prategang yang

dijambil sebesar 65% dari  $f_c'$  (Mpa)

$f_c'$  = kuat tekan beton pada kondisi layan (MPa)

Dari perhitungan gaya prategang, didapatkan tegangan saat setelah peralihan dan saat sevice.

- Modulus elastisitas

Nilai modulus elastisitas beton,  $E_c$ , dapat diambil sebesar:

### 2.7.2 Baja Prategang

- Kuat tarik putus dan leleh

Kuat tarik baja prategang  $f_{pu}$ , diambil sebesar mutu baja yang disebutkan oleh fabrikator berdasarkan sertifikat fabrikasi resmi (Badan Standarisasi Nasional, 2004:19).

Kuat leleh baja prategang  $f_{pu}$ , ditentukan sesuai dengan RSNI-T-12-2004:

- untuk kawat baja prategang =  $0,75 f_{pu}$ .....2.26

- untuk semua kelas *strand* dan tendon baja bulat =  $0,85 f_{pu}$ .....2.27

- Tegangan ijin

Seperti halnya beton, tegangan ijin baja prategang dihitung pada kondisi transfer dan kondisi beban layan. Berdasarkan RSNI-T-12-2004 tegangan ijin ditentukan sebagai berikut:

- a. Tegangan ijin beton setelah penyaluran gaya prategang / kondisi transfer  
 $\sigma_{tarik} \leq 0,74 f_{pu}$  ..... 2.28
  - b. Tegangan ijin beton setelah kehilangan prategang / kondisi layan  
 $\sigma_{tarik} \leq 0,6 f_{pu}$  ..... 2.29
  - Modulus elastisitas

- Modulus elastisitas

Modulus elastisitas baja prategang,  $E_p$ , dapat diambil sebesar:

- untuk kawat tegang-lepas = 200000 MPa
  - untuk *strand* tegang-lepas = 195000 MPa
  - untuk baja ditarik dingin dengan kuat tarik tinggi = 170000 MPa

- Gaya prategang awal

Besarnya gaya prategang awal  $f_{pi}$ , ditentukan berdasarkan mutu baja prategang yang digunakan.

*fpi* = 0,82 *fpy*..... 2,30

- Jenis – jenis baja prategang

Menurut Nawy (dalam Florinsa, 2016), karena tingginya kehilangan rangkak dan susut pada beton, maka prategang efektif dapat dicapai dengan

menggunakan baja mutu sangat tinggi hingga 1862 MPa atau lebih tinggi lagi

Baja prategang dapat berbentuk kawat-kawat tunggal, *strands* yang terdiri atas beberapa kawat yang dipuntir membentuk elemen tunggal dan batang-batang bermutu tinggi.

Tabel 2.7 Kawat-kawat untuk Beton Prategang

| Diameter nominal<br>(in.) | Kuat tarik minimum (psi) |         | Tegangan minimum pada ekstensi 1 % (psi) |         |
|---------------------------|--------------------------|---------|--|---------|
|                           | Tipe BA                  | Tipe WA | Tipe BA                                  | Tipe WA |
| 0,192                     |                          | 250.000 |  | 212.500 |
| 0,196                     | 240.000                  | 250.000 | 204.000                                  | 212.500 |
| 0,250                     | 240.000                  | 240.000 | 204.000                                  | 204.000 |
| 0,276                     | 235.000                  | 235.000 | 199.750                                  | 199.750 |

(Sumber : Nawy, E.G 2001)

Tabel 2.8 Strand 7 Kawat yang Dipadatkan untuk Beton Prategang

| Diameter nominal strand<br>(in.) | Kuat patah strand<br>(min.lb)* | Luas baja nominal strand<br>(in <sup>2</sup> .) | Berat nominal strand (/1000 ft-lb)* |
|----------------------------------|--------------------------------|---|-------------------------------------|
| 1/2                              | 47.000                         | 0,174   | 600                                 |
| 0,6                              | 67.440                         | 0,256   | 873                                 |
| 0,7                              | 85.430                         | 0,346   | 1176                                |

\*1000 lb = 4448 N

Mutu 270 :kuat ultimit fpu = 270.000 psi (1862 Mpa)

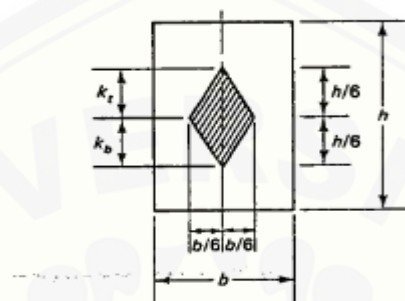
1 in. = 25,4 mm, 1 in.<sup>2</sup> = 645 mm<sup>2</sup>

(Sumber : Nawy, E.G 2001)

### 2.7.3 Profil Kabel

Menurut Nawy (dalam Florinsia, 2016) bahwa untuk memilih profil kabel pada batang beton prategang sedemikian rupa sehingga komponen transversal gaya kabel mengimbangi jenis beban luar tertentu. Dalam menentukan letak kabel perlu diperhatikan daerah aman kabel agar kabel yang terpasang tidak menyebabkan terjadinya tegangan yang melebihi tegangan izin, baik tekan maupun tarik.

*Central kern* merupakan daerah sepanjang balok prategang dimana gaya aksial tekan tidak akan menyebabkan tegangan tarik di serat atas maupun bawah. Hal ini dapat terjadi bila garis tekan bekerja pada  $kt$  dan  $kb$  dan kern bawah. Sedangkan *limit kern* adalah daerah sepanjang balok dimana gaya aksial tekan tidak akan menyebabkan tegangan yang melebihi tegangan izinnya.



Gambar 2.9 Central Kern

(Sumber : Nawy, E.G 2001)

Dengan :  $kt,b$  = jarak dari pusat titik berat ke batas atas/bawah kern

*I = momen inersia penampang*

$A_c$  = luas penampang beton

$yt, b$  = jarak dari pusat titik berat ke serat atas/bawah

## 2.8 Perhitungan Kehilangan Prategang

Kehilangan gaya prategang disebabkan oleh beberapa faktor antara lain (Lin dan Burn, 1996) :

1. Kehilangan langsung (Immediately Loss), yaitu kehilangan gaya pratekan yang terjadi setelah peralihan gaya pratekan meliputi :
    - a. Kehilangan pratekan akibat perpendekan elastic

Dengan : ES = 200.000 Mpa

$f_{cir}$  = tegangan beton akibat gaya prategang efektif segera setelah gaya prategang dikerjakan pada beton

$E_{ci}$  = modulus elastisitas beton

$K_{ES}$  = 1,0 untuk struktur pratarik 0,5 untuk struktur pasca tarik

b. Kehilangan pratekan akibat gesekan kabel (*Friction and wobble effect*)

Kehilangan pratekan akibat gesekan kabel (*Friction and wobble effect*) dapat dilihat pada tabel 2.9 dibawah ini :

Tabel 2.9 Gesekan Kabel

| Tipe tendon                          |  | Koefisien Wobble K tiap meter | Koefisien kelengkungan $\mu$ |
|--------------------------------------|--|-------------------------------|------------------------------|
| Tendon pada selubung logam fleksibel | tendon kawat                                   | 0,0033-0,0049                 | 0,15 - 0,25                  |
|                                      | strand untaian 7-kawat                         | 0,0016-0,0066                 | 0,15 - 0,25                  |
|                                      | batang baja mutu tinggi                        | 0,0003-0,0020                 | 0,08 - 0,30                  |
| Tendon pada selubung logam kaku      | strand untaian 7-kawat                         | 0,0007                        | 0,15 - 0,25                  |
| Tendon yang diminyaki dahulu         | tendon kawat dan strand dengan untaian 7-kawat | 0,001 - 0,0066                | 0,05 - 0,15                  |
| Tendon yang diberi lapisan mastik    | tendon kawat dan strand dengan untaian 7-kawat | 0,0033 -0,0066                | 0,05 - 0,15                  |

(Sumber : Lin, T.Y., dan Burns, N.H, 1993)

Dengan :

F<sub>2</sub> = tegangan tarik satuan pada jarak L

F1 = tegangan tarik satuan pada ujung pendongkrakan

$K$  = koefisien Wobble (tabel 2-1)

$\beta$  = koefisien kelengkungan (tabel 2-1)

$\alpha$  = sudut kelengkungan

J = panjang sampai titik

bilangan ratekan akibat slip angker (*slip anchor*)

$\Delta \alpha_{\text{FS}}$

Dimana :  $\Delta a$  = deformasi pengangkuran

$$E = 200.000 \text{ MPa}$$

2. Kehilangan tak langsung/ *Time Dependent Loss*, yaitu kehilangan pratekan yang bergantung pada fungsi waktu yang meliputi:

a. Kehilangan pratekan akibat rangkak beton (*creep*)

Dimana :

$K_{cr}$  = 2,0 untuk struktur pratarik 1,6 untuk struktur pasca-tarik

$f_{cds}$  = tegangan beton pada titik berat tendon akibat seluruh beban mati yang bekerja pada komponen struktur setelah diberi gaya prategang

$f_{cir}$  = tegangan beton akibat gaya prategang efektif segera setelah gaya prategang dikerjakan pada beton

b. Kehilangan pratekan akibat susut beton (*shrinkage*)

Dimana :

$K_{sh}$  = koefisien pada table 2-2

V = volume beton

S = Luas selimut yang berhubungan dengan udara

RH = kelembaban udara

c. Kehilangan pratekan akibat relaksasi baja (*relaxation*)

Kre, J , dan C, SH, CR, dan ES adalah kehilangan-kehilangan gaya prategang. Kehilangan akibat relaksasi baja (*relaxation*) dapat dilihat pada tabel 2.10 dibawah ini:

Tabel 2.10 Tabel Strand Tendon

| fpi / fpu | strand atau kawat stress relieved | batang stress relieved atau strand atau kawat relaksasi rendah |
|-----------|-----------------------------------|--|
| 0.8       |                                   | 1.28   |

|      |      |      |
|------|------|------|
| 0,79 |      | 1,22 |
| 0,78 |      | 1,16 |
| 0,77 |      | 1,11 |
| 0,76 |      | 1,05 |
| 0,75 | 1,45 | 1,00 |
| 0,74 | 1,36 | 0,95 |
| 0,73 | 1,27 | 0,90 |
| 0,72 | 1,18 | 0,85 |
| 0,71 | 1,09 | 0,80 |
| 0,70 | 1,00 | 0,75 |
| 0,69 | 0,94 | 0,70 |
| 0,68 | 0,89 | 0,66 |
| 0,67 | 0,83 | 0,61 |
| 0,66 | 0,78 | 0,57 |
| 0,65 | 0,73 | 0,53 |
| 0,64 | 0,68 | 0,49 |
| 0,63 | 0,63 | 0,45 |
| 0,62 | 0,58 | 0,41 |
| 0,61 | 0,53 | 0,37 |
| 0,60 | 0,49 | 0,33 |

(Sumber : Lin, T.Y., dan Burns, N.H, 1993)

Tabel 2.11 Kre

| tipe tendon                                   | Kre (Mpa) |
|---|-----------|
| strand atau kawat stress-relieved 1860 Mpa    | 138       |
| strand atau kawat stress-relieved 1720 Mpa    | 128       |
| kawat stress-relieved 1655 Mpa atau 1620 Mpa  | 121       |
| strand relaksasi-rendah derajat 1860 Mpa      | 35        |
| kawat relaksasi rendah 1720 Mpa               | 32        |
| kawat relaksasi rendah 1655 Mpa atau 1620 Mpa | 30        |

Batang stress-relieved 1000 Mpa atau 1100 Mpa

---

41

(Sumber : Lin, T.Y., dan Burns, N.H, 1993)

## **2.9 Perencanaan Struktur Bangunan Bawah**

### **2.9.1 Perencanaan *Abutment***

Perencanaan mengacu dari data penyelidikan tanah. *Abutment* yang digunakan adalah abutment tipe beton bertulanag dan menggunakan pondasi tiang pancang. Beban- beban yang terjadi pada abutment yaitu berupa beban vertikal dan horizontal :

1. Beban mati struktur atas
  2. Beban hidup
  3. Beban mati tambahan, terdiri dari beban gempa, gesek tumpuan bergerak dan beban rem
  4. Beban sendiri Abutment ( $W_{abt}$ )

Berat sendiri abutment dihitung berdasarkan seluruh berat struktur abutment

5. Beban vertikal tanah
  6. Tekanan tanah lateral

Pada perhitungan abutment dilakukan kontrol guling, dan geser

### **2.9.2 Perencanaan Pondasi**

Perencanaan pondasi mengacu metode Luciano Decourt,1982 dimana kekuatan tiang berdasarkan pada kekuatan dasar pondasi tiang dijumlah dengan kekuatan tiang akibat tekanan lateral.

- a. Daya Dukung Tiang Berdasarkan Data Sondir dengan Cara Konvensional

(Sumber : Buku Ajar Pondasi, 2008)

dimana : A = penampang tiang

SF = angka keamanan 3

qc = nilai konus (nilai rata-rata harga konus diambil 4.D dibawah ujung tiang dan 8.D diatas ujung tiang)

JHP = jumlah hambatan pelekat sepanjang tiang

O = keliling tiang

b. Perkiraan jumlah tiang pancang

dimana : n = jumlah tiang

$\Sigma P$  = jumlah beban vertikal

$P_{izin} = \text{dayadukung izin}$  (diambil nilai terkecil dari  $Q_{bahan}$  dan  $Q_{tiang}$ )

c. Daya Dukung Tiang ( Luciano Decourt, 1982 )

- Daya dukung satu tiang

dimana :  $q_p$  = tegangan di ujung tiang

$N_p = \text{harga rata-rata } N \text{ SPT di dekat ujung tiang } (N_1+N_2+N_3)/3$

K = koefisien karakteristik tanah

Ap = luas penampang ujung tiang

$$Q_p = \text{daya dukung tiang (kN)}$$

dimana :  $q_s$  = tekanan akibat tekanan lateral dalam  $\text{t/m}^2$

$N_s$  = harga rata-rata N SPT sepanjang tiang yang tertanam dengan batasan  $2 < N < 50$

As = luas selimut tiang yang terbenam

Daya dukung ijin dari satu tiang yang berdiri sendiri adalah daya dukung tiang total dibagi dengan suatu angka keamanan.

- Daya dukung tiang dalam kelompok

Efisiensi kelompok tiang menggunakan Rumus Converse Laborer (Sumber : Buku Ajar Pondasi, 2008)

(Sumber : Buku Ajar Rekayasa Pondasi, 2008 )

dimana :  $\eta$  = efisiensi kelompok tiang

n = jumlah tiang dalam group

$$\theta = \arctan(D/S)$$

D = diameter tiang

**S = jarak antar sumbu tiang (2.5D – 3D)**

m = jumlah baris tiang

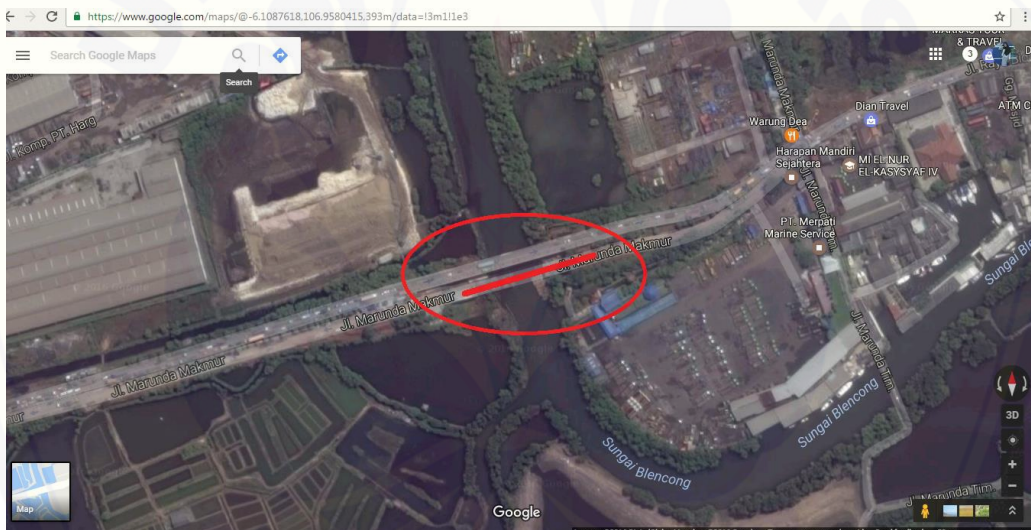
n = jumlah tiang dalam satu baris

## BAB 3 METODOLOGI

### 3.1 Lokasi dan Waktu Perencanaan

Jembatan yang akan direncanakan ulang berada di Kecamatan Cilincing, Jakarta Utara. Jembatan tersebut berada di aliran Sungai Marunda, jembatan ini menghubungkan kawasan pergudangan marunda menuju jalan Cakung Cilincing atau Tanjung Priok. Perencanaan jembatan dilakukan selama 3 bulan tepatnya pada bulan Januari 2017 hingga bulan Maret 2016.

Lokasi Jembatan Kali Blencong (Sisi Selatan) dapat dilihat pada gambar 3.1 dibawah ini.



Gambar 3.1 Lokasi Jembatan

(Sumber : Google Maps, 2016)

Pada akhir bab Metodelogi disajikan flowchart secara umum penggerjaan tugas akhir Modifikasi Jembatan Kali Blencong dengan *I-Girder Prestress Concrete*.

### 3.2 PENGUMPULAN DATA

Pengumpulan data berupa survai lokasi, sehingga didapatkan data – data perencanaan yang dibutuhkan antara lain :

#### 3.2.1 Profil Sungai

Jembatan kali blencong sisi selatan berada pada jalan Cakung, Kecamatan Cilincing, Jakarta Utara melintang diatas sungai Marunda,. Data profil sungai Marunda yang berada di bawah jembatan kali blencong:

- Lebar bentang sungai : ±50 meter
- Elevasi dasar sungai : 20,780 meter
- Elevasi muka air normal : 23,020 meter
- Elevasi muka air banjir : 25,249 meter

Profil sungai digunakan sebagai parameter untuk mendesain atau merencanakan jembatan.

#### 3.2.2 Jembatan *Eksisting*

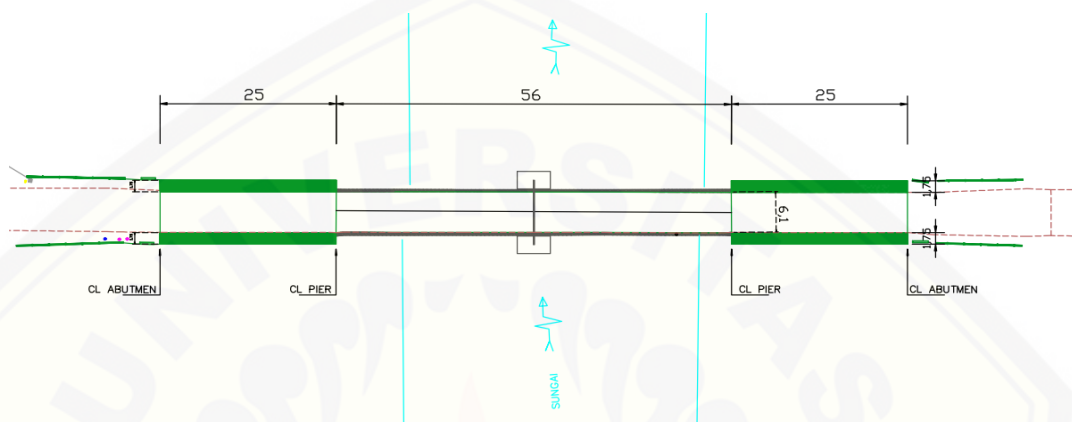
Jembatan pada jalan Cakung Kecamatan Cilincing, Jakarta Utara adalah jembatan dengan desain pratekan dan rangka baja. Bentang jembatan dibagi menjadi 3 span dan terdiri dari 2 pilar dan 1 perkuatan di tengah bentang. Data perencanaan awal jembatan sebagai berikut :

- Nama jembatan : Jembatan Kali Blencong
- Lokasi jembatan : Sungai Marunda, menghubungkan Kawasan Pergudangan marunda menuju jalan Cakung Cilincing atau Tanjung Priok, Jakarta Utara
- Panjang Jembatan : 106 meter
- Jumlah Abutmen : 2 buah
- Jumlah Pier : 2 pier
- Lebar jembatan : 8 meter
- Lebar lantai : 6,1 meter
- Jenis konstruksi jembatan : Jembatan pratekan dan rangka baja

### 3.2.3 Gambar Jembatan *Eksisting*

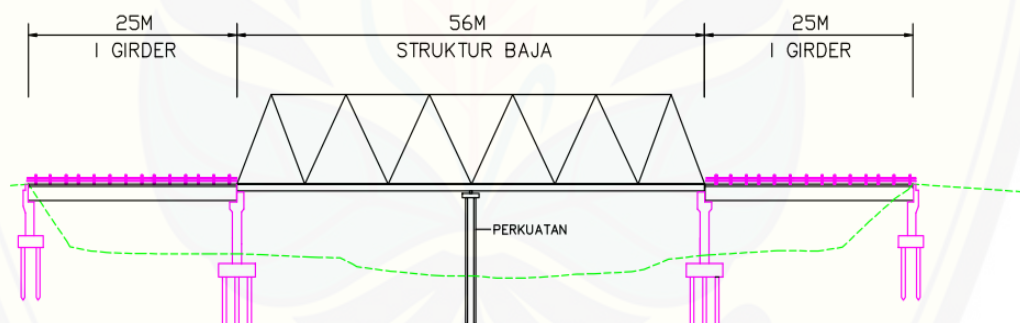
Potongan memanjang dan tampak atas jembatan seperti pada gambar 3.2 dan gambar 3.3 dibawah ini berguna untuk mengetahui panjang dan lebar jembatan.

#### a. Tampak Atas Jembatan Kali Blencong



(Sumber : Kementerian Pekerjaan Umum DKI Jakarta, 2016)

#### b. Potongan Memanjang Jembatan Kali Blencong



(Sumber : Kementerian Pekerjaan Umum DKI Jakarta, 2016)

### 3.2.4 Data Lalu Lintas Harian Rata-rata (LHR)

Data lalu lintas diperlukan untuk merencanakan lebar jembatan, sehingga jembatan nantinya dapat menampung kapasitas kendaraan yang melewati jalur tersebut. Karena tidak adanya data LHR rata – rata pada jalan cakung-cilincing, maka lebar jembatan disesuaikan dengan rencana pelebaran jembatan kali blencong yang dilakukan dinas Pekerjaan Umum DKI Jakarta pada tahun 2016 ini.

### 3.2.5 Data Topografi

Data ini diperoleh dari Kementerian Pekerjaan Umum DKI Jakarta, berupa kontur *site existing* sebagai bahan acuan perletakan pilar. Dengan mengetahui elevasi jalan *existing*, dapat digunakan sebagai acuan ketinggian abutment dan pilar. Selain itu, dapat digunakan sebagai parameter menentukan panjang segmen I-girder atau bentang jembatan, karena penentuan bentang bergantung dari perletakan pier. Apabila bentang jembatan sudah direncanakan, maka desain dimensi girder mengacu pada tabel WIKA untuk girder pracetak.



Gambar 3.4 Gambar Topografi Jembatan Kali Blencong

(Sumber : Kementerian Pekerjaan Umum DKI Jakarta, 2016)

### 3.2.6 Data Tanah

Dalam perencanaan jembatan kali blencong data sekunder tanah yang digunakan merupakan data tanah dari jakarta utara. Data sekunder tanah tersebut dapat digunakan karena sama-sama terletak didaerah jakarta utara. Dari data sekunder tanah tersebut, digunakan untuk perencanaan pondasi.

## 3.3 PRELIMINARY DESIGN

Meliputi data – data perencanaan awal yang mencakup perkiraan dimensi awal dari elemen struktur, penentuan mutu bahan dan material yang akan

digunakan. Data – data umum jembatan yang akan direncanakan ulang adalah sebagai berikut :

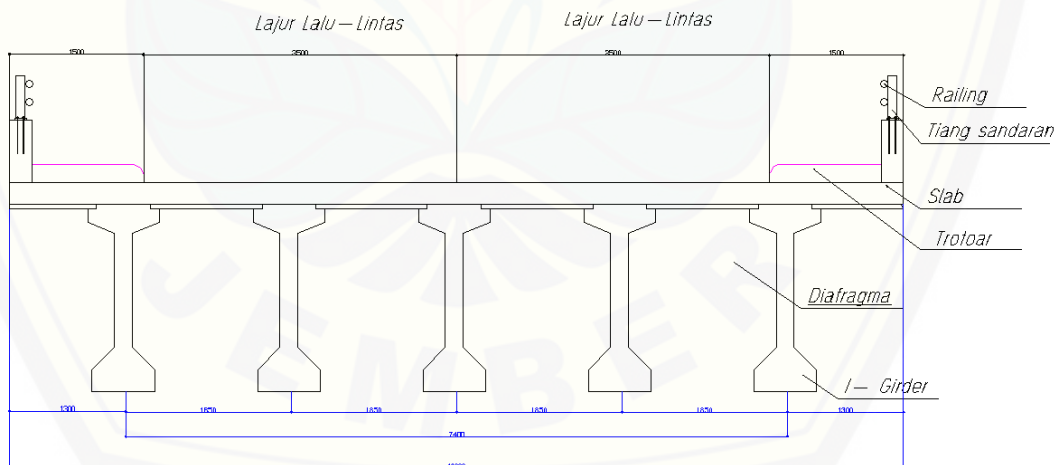
- Data perencanaan jembatan
- Panjang jembatan : 106 meter , dengan bentang 33 meter,40 meter, 33 meter
- Lantai Kendaraan : 2 lajur 1 arah
  - : lebar lajur lalu lintas  $2 \times 3,5$  meter
  - : lebar trotoar  $2 \times 1$  meter
- Lebar melintang jembatan : 9,5 meter
- Tipe Jembatan : *Prestressed Concrete I girder*

Perencanaan dimensi atau profil girder pracetak sesuai dengan tabel WIKA Beton, sistem prategangan digunakan sistem *post-tension*.

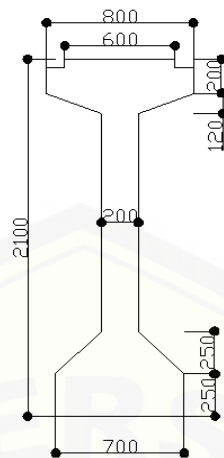
Dari tabel WIKA didapatkan :

- ❖ Panjang girder : 40 meter
- ❖ Jarak balok melintang : 1,85 meter
- ❖ Dimensi girder berdasarkan tabel WIKA tipe H210

(Terlampir pada lampiran 4.2)



Gambar 3.5 Gambar Potongan melintang jembatan



Gambar 3.6 Dimensi *I-Girder* ( dalam mm)

Pemilihan tendon baja berdasarkan pada ketersediaan bahan dipasaran. Untuk mutu bahan ditetapkan sedemikian rupa sehingga sesuai dengan yang umum dipasaran.

### 3.4 Perhitungan Struktur Sekunder

Perhitungan struktur sekunder ini meliputi perencanaan sandaran dan tiang sandaran. Perhitungan ini dilakukan untuk memperoleh desain yang sesuai dengan standar yang berlaku, sehingga struktur sekunder tetap aman.

Perencanaan pelat lantai kendaraan meliputi penentuan tebal pelat dan rencana penulangan pelat lantai. Perencanaan ini dilakukan sesuai dengan tahapan dan teori pada bab 2.

### 3.5 Perhitungan Pembebanan Jembatan

Setelah ditetapkan ukuran dan bentuk penampang, maka tahap selanjutnya adalah perhitungan pembebanan. Pembebanan pada struktur atas jembatan digunakan untuk mencari total gaya yang berkerja pada struktur atas jembatan. Pada Peraturan Pembebanan Jembatan SNI T – 02 –2005, pembebanan pada struktur jembatan dapat dibagi atas beberapa, yaitu beban mati, beban mati tambahan, pengaruh penyusutan dan rangkak, pengaruh prategang, beban hidup , dan faktor lingkungan pada teori bab 2.

Dari perhitungan struktur atas jembatan didapatkan total gaya yang bekerja pada struktur atas jembatan yang nantinya akan disalurkan pada struktur bawah.

### **3.6 Analisa Struktur Utama Jembatan**

Analisa struktur jembatan dilakukan untuk mengetahui gaya-gaya dalam yang bekerja yaitu momen lentur dan geser yang ditimbulkan akibat beban yang bekerja. Gaya-gaya dalam yang bekerja kemudian digambarkan dalam bentuk diagram untuk mempermudah perhitungan selanjutnya.

### **3.7 Perhitungan Gaya Prategang**

Merencanakan gaya prategang sehingga didapatkan tegangan awalnya seperti pada teori bab 2. Dari perhitungan gaya prategang, didapatkan tegangan saat setelah peralihan dan saat sevice.

### **3.8 Kontrol Tegangan**

Kontrol tegangan dicek dalam dua kondisi yaitu saat trasfer dan saat daya layan dapat dilihat pada bab 2 sub bab 2.7.1.

### **3.9 Perhitungan Kehilangan Prategang**

Kehilangan prategang dibagi menjadi dua macam yaitu, kehilangan langsung (*Immediately Loss*) dan kehilangan tak langsung (*Time Dependent Loss*) seperti pada tori bab 2.

Dari perhitungan kehilangan gaya prategang, didapatkan total kehilangan prategang sehingga perlu dilakukan kontrol tegangan.

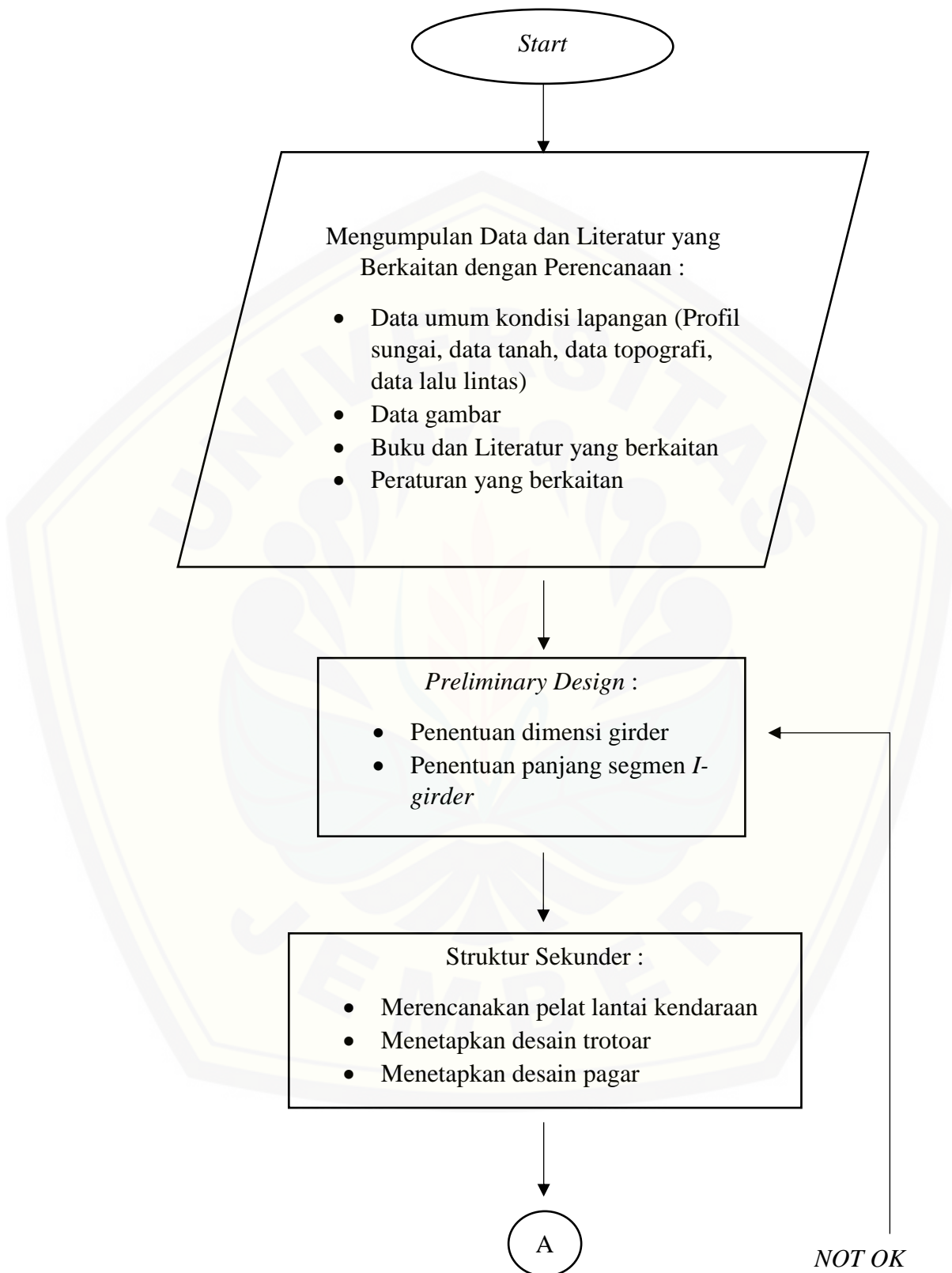
## **3.10 Perencanaan Struktur Bangunan Bawah**

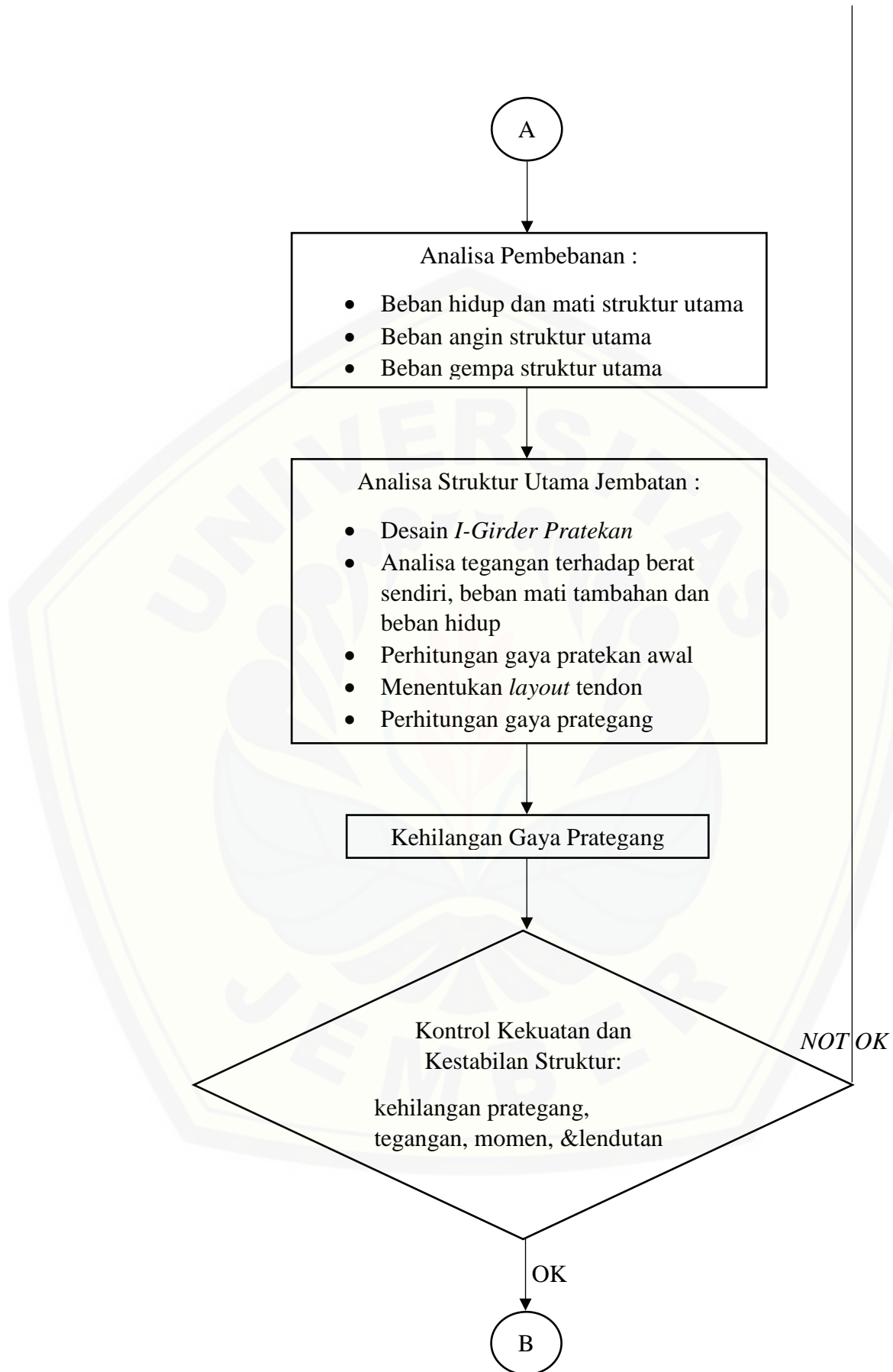
### **3.10.1 Perencanaan *Abutment***

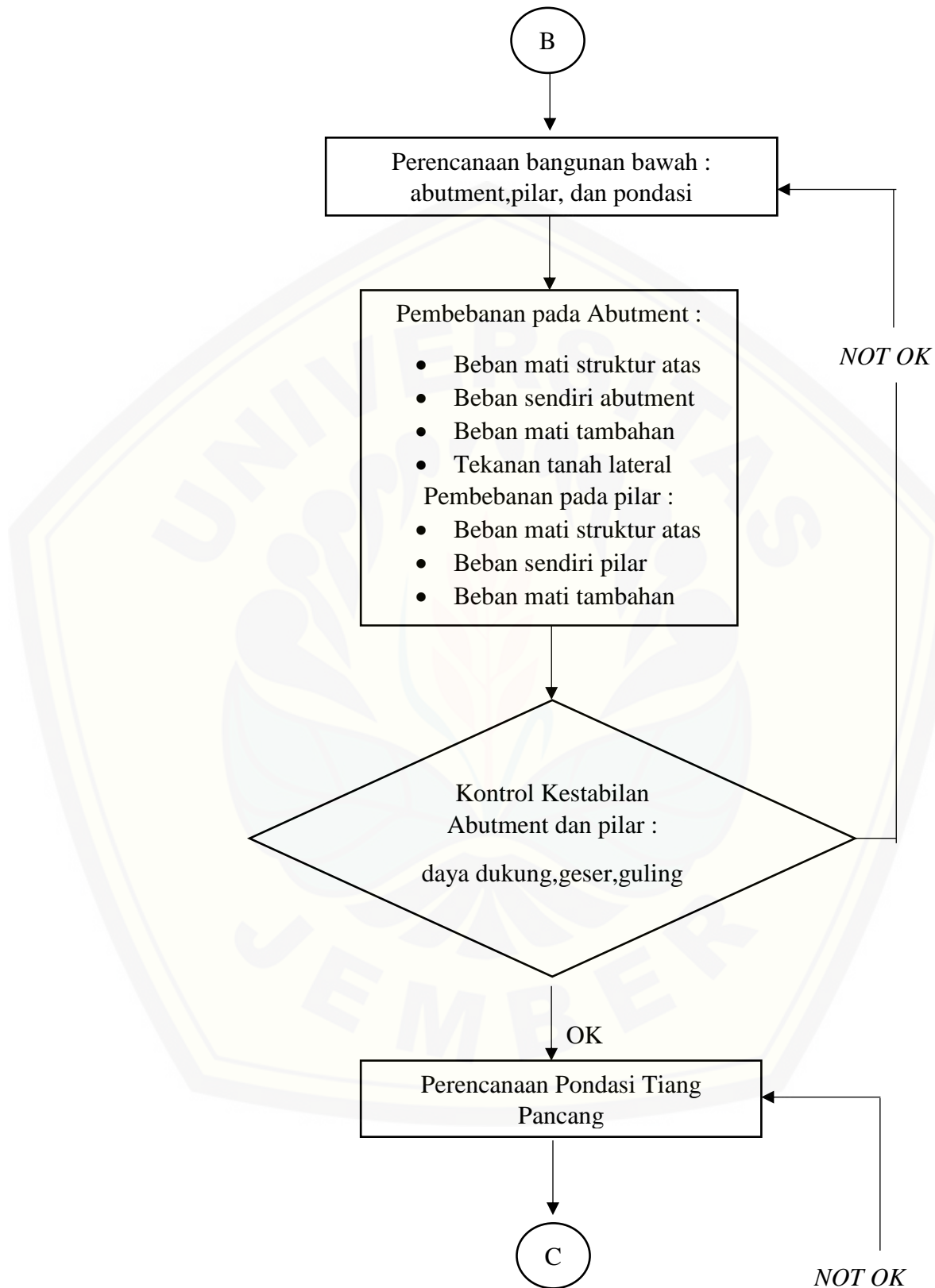
Perencanaan mengacu dari data penyelidikan tanah. *Abutment* yang digunakan adalah *abutment* tipe beton bertulanag dan menggunakan pondasi tiang pancang. Pada perhitungan abutment dilakukan kontrol guling, geser, dan daya dukung.

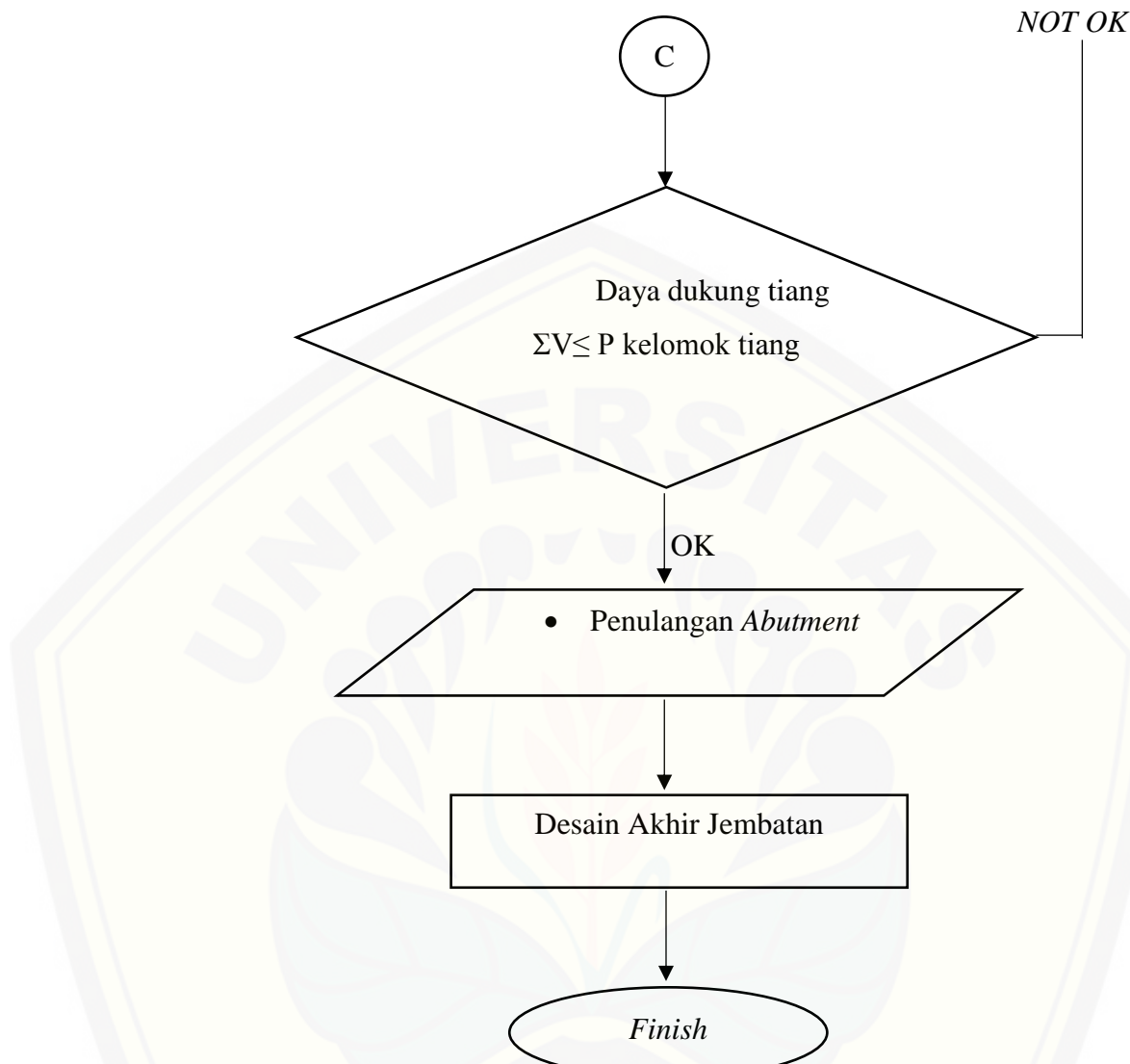
### 3.10.2 Perencanaan Pondasi

Pondasi menggunakan tiang pancang. Perencanaan pondasi mengacu metode Luciano Decourt 1982, dimana kekuatan tiang berdasarkan pada kekuatan dasar pondasi tiang dijumlah dengan kekuatan tiang akibat tekanan lateral. Perhitungan perencanaan pondasi dapat dilihat pada teori bab 2.









Gambar 3.7 Diagram Alir

## BAB 5. PENUTUP

### 4.15 Kesimpulan

Berdasarkan hasil dan pembahasan diperoleh desain jembatan sebagai berikut:

1. Panjang total jembatan 106 m dibagi menjadi 3 bentang masing-masing 33 m, 40 m, dan 33 m dengan lebar total jembatan 9,5 m.
2. Gelagar utama menggunakan *Precast Concrete I* (PCI) Girder H210 dengan bentang 40 m dari PT. Wika Beton. Gelagar utama direncanakan sebanyak 5 buah girder yang dipasang dengan jarak 1,85 m.
3. Sandaran terdiri dari atas dua buah pipa baja galvanis  $\varnothing$  13,9 cm BJ-37, tiang sandaran dengan profil baja WF (100 x 50 x 5 x 7) setinggi 500 mm, dan dinding sandaran menggunakan beton bertulang dengan tebal 25 cm setinggi 500 mm.
4. Trotoar menggunakan beton bertulang dengan tebal 25 cm.
5. Plat lantai kendaraan menggunakan beton bertulang dengan tebal 20 cm.
6. Diafragma menggunakan beton bertulang dengan ukuran 20 cm x 128 cm
7. Gelagar utama merupakan beton pratekan dengan  $P = 4123,333$  kN dan 7-*wire strand super grade* sebanyak 31 buah yang disebar dalam 3 tendon.
8. Kehilangan gaya pratekan yang terjadi adalah 15,402 %.
9. Lendutan total yang terjadi adalah 10,97 ↑.
10. Tumpuan menggunakan elastomer dengan dimensi 700 x 550 x 120
11. Struktur bawah jembatan menggunakan dimensi abutment 7 m x 9,5 m.  
Untuk pondasi direncanakan pondasi tiang pancang diameter 60 cm dengan kedalaman 10 m dari dasar abutment.

### 4.16 Saran

1. Hasil perencanaan ini dapat dijadikan sebagai salah satu alternatif desain jembatan baru di Kali Blencong (Sisi Selatan), Jakarta Utara.
2. Untuk perencanaan selanjutnya dapat ditambahkan perhitungan *pier* dan rencana anggaran biaya

## DAFTAR PUSTAKA

- Atriana, R. 2016. Akses Sisi Selatan Jembatan Blencong Jakut Ditutup Hingga Akhir 2016. <http://news.detik.com/berita/3217053/akses-sisi-selatan-jembatan-blencong-jakut-ditutup-hingga-akhir-2016>. [Diakses pada 9 November 2016].
- Peraturan Menteri Pekerja Umum. 2011. Persyaratan Teknis Jalan dan Kriteria Perencanaan Teknis Jalan. Jakarta: Kementerian Pekerja Umum.
- Hariwiyono, S., Soebandono, B, dan Hakim, L. 2013. Perancangan Ulang Struktur Atas Jembatan Gajah Wong Yogyakarta dengan Menggunakan Box Girder. *Jurnal Ilmiah Semesta Teknika*, 16:10-20.
- Lin, T.Y., dan Burns, N.H. 1993. Desain Struktur Beton Prategang Jilid 1. Terjemahan Oleh Daniel Indrawan. Jakarta: Erlangga.
- Hueste. M, Mander. J, dan Parkar. A. 2012. Continuous Prestressed Concrete Girder Bridges Volume 1: Literature Review and Preliminary Designs. Texas Transportation Institute. 176: 7.
- Supriyadi, B., dan Muntohar, A.S. 2007. Jembatan Edisi Pertama Cetakan IV. Yogyakarta: Beta Offset.
- Jurnal 2TS 1 1921. 2010. Tinjauan Pustaka. Universitas Atmajaya.
- Sholeh, M. 2008. Buku Ajar Rekayasa Pondasi. Malang: Politeknik Negeri Malang.
- Direktoral Jenderal Bina Marga. 1992. Bridge Management System. Jakarta: Direktoral Jenderal Bina Marga.
- Badan Standarisasi Nasional. 2016. SNI 1725-2016 Pembebanan Untuk Jembatan. Jakarta: Badan Standarisasi Nasional
- Badan Standarisasi Nasional. 2004. RSNI-T-12-2004 Perencanaan Struktur Beton Untuk Jembatan. Jakarta: Badan Standarisasi Nasional
- Florinsia, Y. 2016. Studi Perencanaan Struktur Atas Jembatan Baru Kali Manyar Kabupaten Gresik Menggunakan Beton Pratekan. Skripsi. Jember: Fakultas Teknik Universitas Jember.
- Nawy, E.G. 2001. Beton Prategang: Suatu Pendekatan Mendasar Jilid 1 Edisi III. Terjemahan Oleh Bambang Suryoatmono. Jakarta: Erlangga.

Kementerian Pekerjaan Umum. 2016. Perencanaan Teknik Pelebaran/Penggantian Jembatan Kali Blencong. DKI Jakarta: Direktorat Jendral Bina Marga.



## LAMPIRAN

### 1. Lampiran Berat Isi untuk Beban Mati

| No. | Bahan  | Berat isi<br>(kN/m <sup>3</sup> ) | Kerapatan massa<br>(kg/m <sup>3</sup> ) |
|-----|--|-----------------------------------|---|
| 1   | Lapisan permukaan beraspal<br><i>(bituminous wearing surfaces)</i> | 22,0                              | 2245                                    |
| 2   | Besi tuang ( <i>cast iron</i> )                                    | 71,0                              | 7240                                    |
| 3   | Timbunan tanah dipadatkan<br><i>(compacted sand, silt or clay)</i> | 17,2                              | 1755                                    |
| 4   | Kerikil dipadatkan ( <i>rolled gravel, macadam or ballast</i> )    | 18,8-22,7                         | 1920-2315                               |
| 5   | Beton aspal ( <i>asphalt concrete</i> )                            | 22,0                              | 2245                                    |
| 6   | Beton ringan ( <i>low density</i> )                                | 12,25-19,6                        | 1250-2000                               |
| 7   | Beton $f_c < 35 \text{ MPa}$                                       | 22,0-25,0                         | 2320                                    |
|     | $35 < f_c < 105 \text{ MPa}$                                       | $22 + 0,022 f_c$                  | $2240 + 2,29 f_c$                       |
| 8   | Baja ( <i>steel</i> )  | 78,5                              | 7850                                    |
| 9   | Kayu (ringan)  | 7,8                               | 800                                     |
| 10  | Kayu keras ( <i>hard wood</i> )                                    | 11,0                              | 1125                                    |

Sumber : Peraturan Pembebanan Untuk Jembatan SNI 1725-2016

2. Lampirandimensiaprofil girder pracetak PC I H-210sesuaidengantabel WIKA

| GIRDER SHAPE & DIMENSION   PC - I GIRDER |                    |  |                    |  |                    |  |                    |  |                       |
|--|--------------------|--|--------------------|--|--------------------|--|--------------------|--|-----------------------|
|  | PCIH-90            |  | PCIH-125           |  | PCIH-160           |  | PCIH-170           |  | PCIH-210              |
|  | Beam Spacing / fc' | Beam Support Reaction (kN)                       | Beam Spacing / fc' | Beam Support Reaction (kN)                       | Beam Spacing / fc' | Beam Support Reaction (kN)                       | Beam Spacing / fc' | Beam Support Reaction (kN)                       | Beam Spacing / fc'    |
|  | (cm / MPa)         | V <sub>DL</sub> V <sub>LL</sub> V <sub>ult</sub> | (cm / MPa)         | V <sub>DL</sub> V <sub>LL</sub> V <sub>ult</sub> | (cm / MPa)         | V <sub>DL</sub> V <sub>LL</sub> V <sub>ult</sub> | (cm / MPa)         | V <sub>DL</sub> V <sub>LL</sub> V <sub>ult</sub> | (cm / MPa)            |
| 10                                       | 185 / 40           | 117 179 476                                      |                    |  |                    |  |                    |  |                       |
| 11                                       | 185 / 40           | 128 187 505                                      |                    |  |                    |  |                    |  |                       |
| 12                                       | 185 / 40           | 138 196 533                                      |                    |  |                    |  |                    |  |                       |
| 13                                       | 185 / 40           | 151 204 563                                      |                    |  |                    |  |                    |  |                       |
| 14                                       | 185 / 40           | 161 212 594                                      |                    |  |                    |  |                    |  |                       |
| 15                                       | 185 / 40           | 171 221 622                                      |                    |  |                    |  |                    |  |                       |
| 16                                       | 140 / 40           | 150 173 508                                      | 185 / 40           | 200 229 673                                      |                    |  |                    |  |                       |
| 17                                       |                    |  | 185 / 40           | 211 237 702                                      |                    |  |                    |  |                       |
| 18                                       |                    |  | 185 / 40           | 222 245 731                                      |                    |  |                    |  |                       |
| 19                                       |                    |  | 185 / 40           | 233 254 761                                      |                    |  |                    |  |                       |
| 20                                       |                    |  | 185 / 40           | 244 262 790                                      |                    |  |                    |  |                       |
| 21                                       |                    |  | 185 / 40           | 255 270 820                                      |                    |  |                    |  |                       |
| 22                                       |                    |  | 140 / 50           | 225 211 672                                      | 185 / 40           | 318 279 913                                      |                    |  |                       |
| 23                                       |                    |  | 140 / 60           | 234 217 695                                      | 185 / 40           | 331 287 945                                      |                    |  |                       |
| 24                                       |                    |  |                    |  | 185 / 40           | 344 295 976                                      |                    |  |                       |
| 25                                       |                    |  |                    |  | 185 / 40           | 357 304 1008                                     |                    |  |                       |
| 26                                       |                    |  |                    |  | 185 / 40           | 370 312 1040                                     |                    |  |                       |
| 27                                       |                    |  |                    |  | 185 / 40           | 383 320 1072                                     |                    |  |                       |
| 28                                       |                    |  |                    |  | 185 / 40           | 396 329 1104                                     |                    |  |                       |
| 29                                       |                    |  |                    |  | 185 / 40           | 419 337 1148                                     |                    |  |                       |
| 30                                       |                    |  |                    |  | 140 / 50           | 369 261 944                                      | 185 / 40           | 432 345 1180                                     |                       |
| 31                                       |                    |  |                    |  | 140 / 50           | 381 264 964                                      | 185 / 40           | 445 349 1204                                     |                       |
| 32                                       |                    |  |                    |  |                    |  | 185 / 40           | 517 354 1297                                     |                       |
| 33                                       |                    |  |                    |  |                    |  | 185 / 40           | 532 358 1324                                     |                       |
| 34                                       |                    |  |                    |  |                    |  | 185 / 40           | 546 362 1350                                     |                       |
| 35                                       |                    |  |                    |  |                    |  | 185 / 50           | 561 366 1377                                     | 185 / 40 607 366 1432 |
| 36                                       |                    |  |                    |  |                    |  | 185 / 60           | 576 370 1403                                     | 185 / 40 623 370 1460 |
| 37                                       |                    |  |                    |  |                    |  | 185 / 60           | 591 374 1429                                     | 185 / 40 639 374 1487 |
| 38                                       |                    |  |                    |  |                    |  | 185 / 60           | 606 378 1456                                     | 185 / 40 655 378 1515 |
| 39                                       |                    |  |                    |  |                    |  | 140 / 60           | 589 289 1265                                     | 185 / 40 671 382 1542 |
| 40                                       |                    |  |                    |  |                    |  | 140 / 60           | 603 292 1289                                     | 185 / 50 686 386 1570 |
| 41                                       |                    |  |                    |  |                    |  | 140 / 60           | 620 297 1318                                     | 185 / 50 705 392 1604 |
| 42                                       |                    |  |                    |  |                    |  |                    |  | 185 / 50 721 396 1632 |
| 43                                       |                    |  |                    |  |                    |  |                    |  | 185 / 50 750 400 1675 |
| 44                                       |                    |  |                    |  |                    |  |                    |  | 185 / 60 766 404 1703 |

### 3. Lampiran

TABEL BITTNER

#### A. MITTENMOMENTE $M_{xm}$ BEI MITTIGER RECHTECKLAST

| $t_y$ | $I_x$  | $t_x : I_x$ |        |        |        |        |        |        |        |        |        | Faktor |
|-------|--------|-------------|--------|--------|--------|--------|--------|--------|--------|--------|--------|--------|
|       |        | 1,0         | 0,9    | 0,8    | 0,7    | 0,6    | 0,5    | 0,4    | 0,3    | 0,2    | 0,1    |        |
| 1,0   | 0,0773 | 0,0851      | 0,0932 | 0,1016 | 0,1104 | 0,1196 | 0,1293 | 0,1396 | 0,1504 | 0,1620 | 0,1679 | P      |
| 0,9   | 0,0796 | 0,0877      | 0,0961 | 0,1049 | 0,1141 | 0,1238 | 0,1342 | 0,1452 | 0,1571 | 0,1697 | 0,1763 | P      |
| 0,8   | 0,0819 | 0,0903      | 0,0990 | 0,1081 | 0,1178 | 0,1282 | 0,1393 | 0,1512 | 0,1641 | 0,1781 | 0,1853 | P      |
| 0,7   | 0,0841 | 0,0927      | 0,1017 | 0,1112 | 0,1215 | 0,1324 | 0,1444 | 0,1574 | 0,1716 | 0,1874 | 0,1957 | P      |
| 0,6   | 0,0862 | 0,0950      | 0,1043 | 0,1142 | 0,1250 | 0,1366 | 0,1495 | 0,1638 | 0,1796 | 0,1975 | 0,2070 | P      |
| 0,5   | 0,0880 | 0,0971      | 0,1067 | 0,1170 | 0,1283 | 0,1407 | 0,1546 | 0,1703 | 0,1882 | 0,2088 | 0,2201 | P      |
| 0,4   | 0,0897 | 0,0989      | 0,1087 | 0,1195 | 0,1312 | 0,1444 | 0,1594 | 0,1768 | 0,1973 | 0,2216 | 0,2355 | P      |
| 0,3   | 0,0910 | 0,1004      | 0,1104 | 0,1215 | 0,1338 | 0,1477 | 0,1638 | 0,1831 | 0,2067 | 0,2363 | 0,2539 | P      |
| 0,2   | 0,0920 | 0,1015      | 0,1118 | 0,1230 | 0,1357 | 0,1503 | 0,1675 | 0,1887 | 0,2160 | 0,2533 | 0,2775 | P      |
| 0,1   | 0,0926 | 0,1022      | 0,1126 | 0,1241 | 0,1370 | 0,1520 | 0,1700 | 0,1926 | 0,2237 | 0,2714 | 0,3086 | P      |
| 0,05  | 0,0927 | 0,1023      | 0,1128 | 0,1243 | 0,1373 | 0,1524 | 0,1706 | 0,1937 | 0,2261 | 0,2788 | 0,3268 | P      |

#### B. MITTENMOMENTE $M_{ym}$ BEI MITTIGER RECHTECKLAST

| $t_y$ | $I_x$  | $t_x : I_x$ |        |        |        |        |        |        |        |        |        | Faktor |
|-------|--------|-------------|--------|--------|--------|--------|--------|--------|--------|--------|--------|--------|
|       |        | 1,0         | 0,9    | 0,8    | 0,7    | 0,6    | 0,5    | 0,4    | 0,3    | 0,2    | 0,1    |        |
| 1,0   | 0,0210 | 0,0230      | 0,0250 | 0,0268 | 0,0285 | 0,0299 | 0,0312 | 0,0322 | 0,0330 | 0,0334 | 0,0335 | P      |
| 0,9   | 0,0245 | 0,0269      | 0,0292 | 0,0315 | 0,0333 | 0,0351 | 0,0366 | 0,0378 | 0,0388 | 0,0393 | 0,0395 | P      |
| 0,8   | 0,0286 | 0,0314      | 0,0341 | 0,0366 | 0,0390 | 0,0411 | 0,0430 | 0,0445 | 0,0456 | 0,0463 | 0,0465 | P      |
| 0,7   | 0,0333 | 0,0366      | 0,0399 | 0,0428 | 0,0457 | 0,0483 | 0,0506 | 0,0525 | 0,0539 | 0,0548 | 0,0550 | P      |
| 0,6   | 0,0388 | 0,0427      | 0,0464 | 0,0501 | 0,0535 | 0,0567 | 0,0596 | 0,0620 | 0,0639 | 0,0651 | 0,0654 | P      |
| 0,5   | 0,0452 | 0,0496      | 0,0541 | 0,0585 | 0,0627 | 0,0667 | 0,0704 | 0,0736 | 0,0761 | 0,0778 | 0,0782 | P      |
| 0,4   | 0,0525 | 0,0578      | 0,0630 | 0,0683 | 0,0735 | 0,0786 | 0,0834 | 0,0878 | 0,0914 | 0,0938 | 0,0945 | P      |
| 0,3   | 0,0608 | 0,0670      | 0,0732 | 0,0796 | 0,0861 | 0,0927 | 0,0993 | 0,1053 | 0,1111 | 0,1193 | 0,1161 | P      |
| 0,2   | 0,0703 | 0,0774      | 0,0849 | 0,0926 | 0,0908 | 0,1095 | 0,1186 | 0,1280 | 0,1372 | 0,1449 | 0,1471 | P      |
| 0,1   | 0,0809 | 0,0892      | 0,0981 | 0,1075 | 0,1179 | 0,1293 | 0,1422 | 0,1569 | 0,1739 | 0,1921 | 0,1993 | P      |
| 0,05  | 0,0867 | 0,0957      | 0,1053 | 0,1157 | 0,1273 | 0,1405 | 0,1558 | 0,1745 | 0,1979 | 0,2290 | 0,2472 | P      |

Sumber : Vis, W.C. dan Kusuma Gideon (1993), Grafik dan Tabel Perhitungan Beton Bertulang, Erlangga, Jakarta

4. Lampiran rekapitulasimomenakibatbebanpadabentang 33

Tabel 3.1. Rekapitulasi Momen Akibat Beban pada bentang 33

| Jarak (m) | $M_G$ (kNm) | $M_{DL}$ (kNm) | $M_L$ (kNm) | $M_{tot}$ (kNm) |
|-----------|-------------|----------------|-------------|-----------------|
| 0         | 0           | 0              | 0           | 0               |
| 2         | 1170.417    | 359.584        | 1040.295    | 2570.296        |
| 4         | 2191.64     | 673.335        | 1977.1      | 4842.075        |
| 6         | 3061.304    | 940.52         | 2808.78     | 6810.604        |
| 8         | 377.89      | 1161.01        | 3535.04     | 5073.94         |
| 10        | 4347.49     | 1335.67        | 4157.82     | 9840.98         |
| 12        | 4762,03     | 1463.03        | 4673.79     | 6136.82         |
| 14        | 5026.984    | 1544.43        | 5086.02     | 11657.434       |
| 16        | 5140.76     | 1579.38        | 5393.38     | 12113.52        |
| 16.5      | 5146.334    | 1581.097       | 5454.355    | 12181.786       |

5. Lampiran batas bawah tendon pada bentang 33

Tabel 4.1.Batas Bawah Tendon padabentang 33

| Jarak tinjau(m) | $M_G$<br>(kNm) | $P_i$ (KN) | $a_2$ (m) | Batas bawah(m) |
|-----------------|----------------|------------|-----------|----------------|
| 0               | 0.00           | 10600      | 0.000     | 0.520          |
| 2               | 1170.42        | 10600      | 0.110     | 0.631          |
| 4               | 2191.64        | 10600      | 0.207     | 0.727          |
| 6               | 3061.30        | 10600      | 0.289     | 0.809          |
| 8               | 3778.90        | 10600      | 0.357     | 0.877          |
| 10              | 4347.49        | 10600      | 0.410     | 0.931          |
| 12              | 4762.03        | 10600      | 0.449     | 0.970          |
| 14              | 5026.98        | 10600      | 0.474     | 0.995          |
| 16              | 5140.76        | 10600      | 0.485     | 1.005          |
| 16.5            | 5146.33        | 10600      | 0.486     | 1.006          |

## 6. Lampiranbatasatas tendon padabentang 33

Tabel 5.1. Batas Atas Tendon padabentang 33

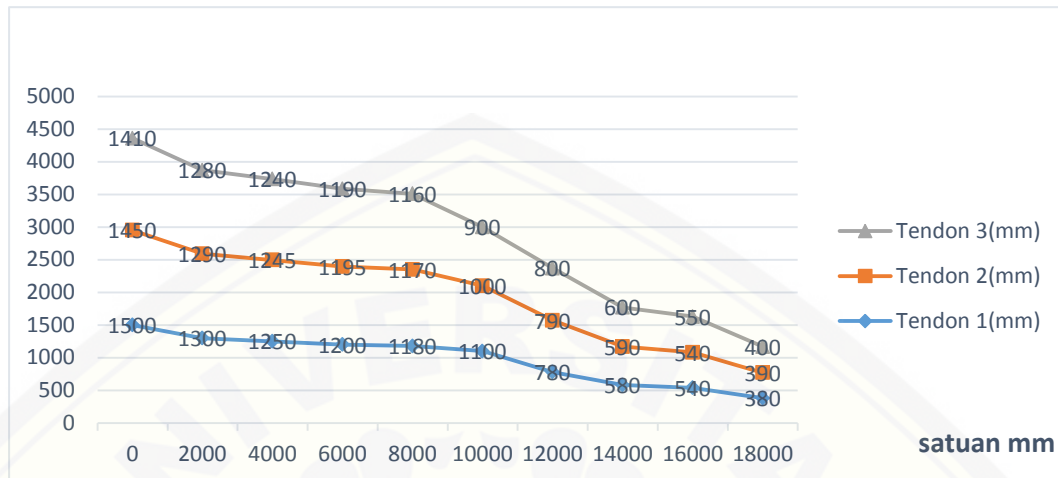
| Jarak tinjau(m) | M <sub>tot</sub> (kNm) | P <sub>e</sub> (KN) | a <sub>1</sub> (m) | Batas atas(m) |
|-----------------|------------------------|---------------------|--------------------|---------------|
| 0               | 0                      | 9010.0              | 0.0000             | 0.5111        |
| 2               | 2570.296               | 9010.0              | 0.2853             | 0.7963        |
| 4               | 4842.075               | 9010.0              | 0.5374             | 1.0485        |
| 6               | 6810.604               | 9010.0              | 0.7559             | 1.2669        |
| 8               | 8474.95                | 9010.0              | 0.9406             | 1.4517        |
| 10              | 9840.98                | 9010.0              | 1.0922             | 1.6033        |
| 12              | 10898.85               | 9010.0              | 1.2096             | 1.7207        |
| 14              | 11657.434              | 9010.0              | 1.2938             | 1.8049        |
| 16              | 12113.52               | 9010.0              | 1.3445             | 1.8555        |
| 16.5            | 12181.786              | 9010.0              | 1.3520             | 1.8631        |

## 7. Lampiranposisimasing-masing tendon padabentang 33

Tabel 6.1.PosisiMasing-masing Tendon padabentang 33

| Jarak<br>(mm) | Tendon 1<br>(mm) | Tendon 2<br>(mm) | Tendon 3<br>(mm) |
|---------------|------------------|------------------|------------------|
| 0             | 1500             | 1450             | 1410             |
| 2000          | 1300             | 1290             | 1280             |
| 4000          | 1250             | 1245             | 1240             |
| 6000          | 1200             | 1195             | 1190             |
| 8000          | 1180             | 1170             | 1160             |
| 10000         | 1100             | 1000             | 900              |
| 12000         | 780              | 790              | 800              |
| 14000         | 580              | 590              | 600              |
| 16000         | 540              | 540              | 550              |
| 16500         | 380              | 390              | 400              |

8. Lampiran gambar posisi tendon bentang 33 hingga tengah bentang



## 9. Lampiran

Tabel 5.3. Kontrol Tegangan Bentang 33 Akibat Tendon 1

| Jarak<br>(mm) | e<br>(mm) | Tendon 1                |                          |             | P           | Transfer |       | Layan  |       |         |    |
|---------------|-----------|-------------------------|--------------------------|-------------|-------------|----------|-------|--------|-------|---------|----|
|               |           | M <sub>G</sub><br>(kNm) | M <sub>DL</sub><br>(kNm) | ML<br>(kNm) |             | Atas     | bawah | Atas   | Bawah |         |    |
| 0             | 600       | 0                       | 0                        | 0           | 3533333.333 | 0.707    | OK    | -9.738 | OK    | -8.468  | OK |
| 2000          | 800       | 1170.417                | 359.584                  | 1040.295    | 3533333.333 | -0.460   | OK    | -8.620 | OK    | -4.972  | OK |
| 4000          | 850       | 2191.64                 | 673.335                  | 1977.1      | 3533333.333 | -2.585   | OK    | -6.584 | OK    | -6.919  | OK |
| 6000          | 900       | 3061.304                | 940.52                   | 2808.78     | 3533333.333 | -4.329   | OK    | -4.914 | OK    | -10.32  | OK |
| 8000          | 920       | 3778.9                  | 1161.01                  | 3535.04     | 3533333.333 | -5.957   | OK    | -3.355 | OK    | -13.35  | OK |
| 10000         | 1000      | 4347.49                 | 1335.67                  | 4157.82     | 3533333.333 | -6.677   | OK    | -2.665 | OK    | -15.30  | OK |
| 12000         | 1320      | 4762.03                 | 1463.03                  | 4673.79     | 3533333.333 | -4.875   | OK    | -4.392 | OK    | -14.82  | OK |
| 14000         | 1520      | 5026.984                | 1544.43                  | 5086.02     | 3533333.333 | -3.763   | OK    | -5.456 | OK    | -14.64  | OK |
| 16000         | 1560      | 5140.76                 | 1579.38                  | 5393.38     | 3533333.333 | -3.694   | OK    | -5.523 | OK    | -15.06  | OK |
| 16500         | 1720      | 5146.334                | 1581.097                 | 5454.355    | 3533333.333 | -2.285   | OK    | -6.872 | OK    | -13.93  | OK |
|               |           |                         |                          |             |             |          |       |        |       | -18.109 | OK |

## 10. Lampiran

Tabel 5.4. Kontrol Tegangan Bentang 33 Akibat Tendon 2

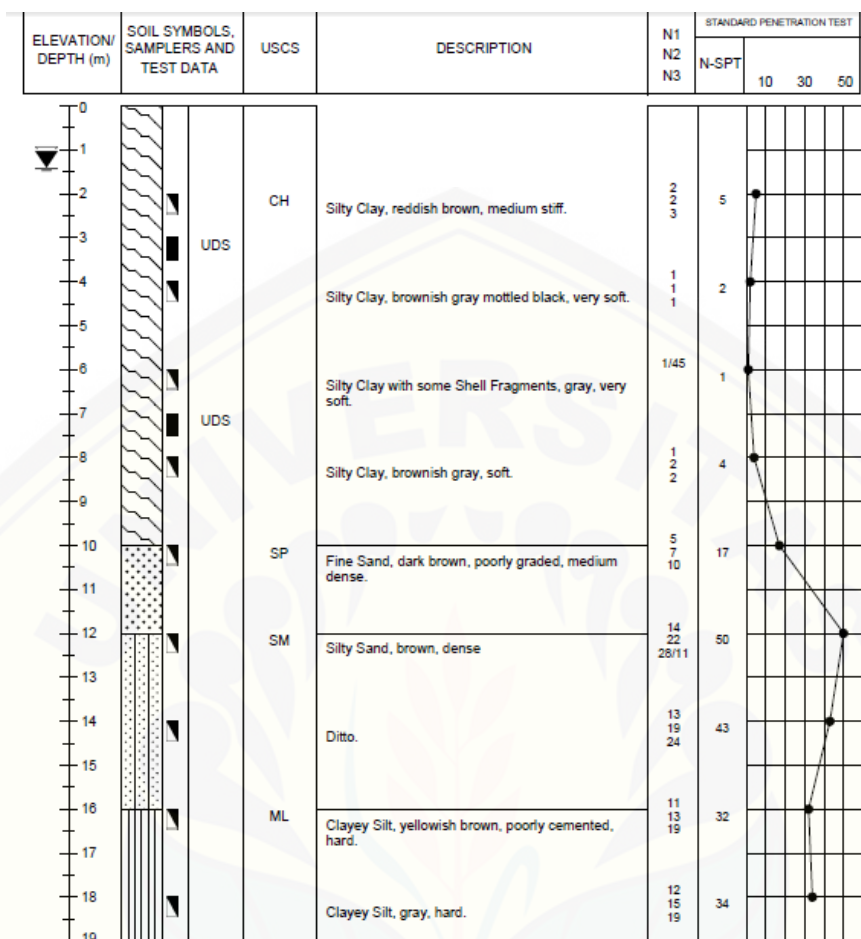
| Jarak<br>(mm) | e<br>(mm) | Tendon 2       |                   |             | P           | Transfer |       |        | Layan |        |    |
|---------------|-----------|----------------|-------------------|-------------|-------------|----------|-------|--------|-------|--------|----|
|               |           | $M_G$<br>(kNm) | $M_{DL}$<br>(kNm) | ML<br>(kNm) |             | Atas     | Bawah | Atas   | bawah |        |    |
| 0             | 650       | 0              | 0                 | 0           | 3533333.333 | 1.152    | OK    | -10.16 | OK    | -8.85  | OK |
| 2000          | 810       | 1170.417       | 359.584           | 1040.295    | 3533333.333 | -0.371   | OK    | -8.71  | OK    | -5.05  | OK |
| 4000          | 855       | 2191.64        | 673.335           | 1977.1      | 3533333.333 | -2.541   | OK    | -6.63  | OK    | -6.88  | OK |
| 6000          | 905       | 3061.304       | 940.52            | 2808.78     | 3533333.333 | -4.285   | OK    | -4.96  | OK    | -10.29 | OK |
| 8000          | 930       | 3778.9         | 1161.01           | 3535.04     | 3533333.333 | -5.868   | OK    | -3.44  | OK    | -13.27 | OK |
| 10000         | 1100      | 4347.49        | 1335.67           | 4157.82     | 3533333.333 | -5.787   | OK    | -3.52  | OK    | -14.55 | OK |
| 12000         | 1310      | 4762.03        | 1463.03           | 4673.79     | 3533333.333 | -4.963   | OK    | -4.31  | OK    | -14.90 | OK |
| 14000         | 1510      | 5026.984       | 1544.43           | 5086.02     | 3533333.333 | -3.852   | OK    | -5.37  | OK    | -14.72 | OK |
| 16000         | 1560      | 5140.76        | 1579.38           | 5393.38     | 3533333.333 | -3.694   | OK    | -5.52  | OK    | -15.06 | OK |
| 16500         | 1710      | 5146.334       | 1581.097          | 5454.355    | 3533333.333 | -2.374   | OK    | -6.79  | OK    | -14.01 | OK |
|               |           |                |                   |             |             |          |       |        |       | -18.18 | OK |

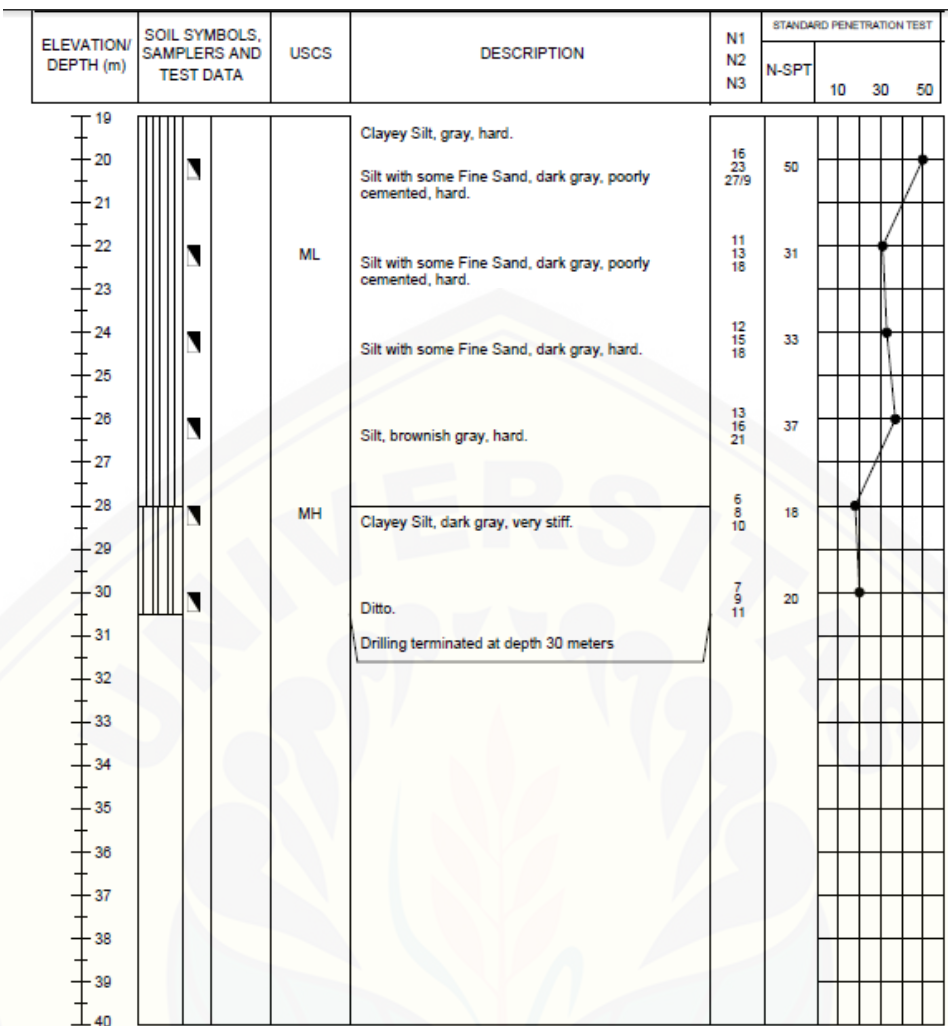
## 11. Lampiran

Tabel 5.5. Kontrol Tegangan Benang 33 Akibat Tendon 3

| Tendon 3 |      |                |                 |          |             | Transfer |       |        |       | Layan  |       |        |       |
|----------|------|----------------|-----------------|----------|-------------|----------|-------|--------|-------|--------|-------|--------|-------|
| Jarak    | e    | M <sub>G</sub> | M <sub>DL</sub> | ML       | P           | atas     | Bawah | atas   | Bawah | Atas   | Bawah | Atas   | Bawah |
| (mm)     | (mm) | (kNm)          | (kNm)           | (kNm)    |             |          |       |        |       |        |       |        |       |
| 0        | 690  | 0              | 0               | 0        | 3533333.333 | 1.51     | OK    | -10.50 | OK    | -9.15  | OK    | 1.06   | OK    |
| 2000     | 820  | 1170.417       | 359.584         | 1040.295 | 3533333.333 | -0.28    | OK    | -8.79  | OK    | -5.12  | OK    | -3.67  | OK    |
| 4000     | 860  | 2191.64        | 673.335         | 1977.1   | 3533333.333 | -2.50    | OK    | -6.67  | OK    | -6.84  | OK    | -8.39  | OK    |
| 6000     | 910  | 3061.304       | 940.52          | 2808.78  | 3533333.333 | -4.24    | OK    | -5.00  | OK    | -10.25 | OK    | -12.35 | OK    |
| 8000     | 940  | 3778.9         | 1161.01         | 3535.04  | 3533333.333 | -5.78    | OK    | -3.52  | OK    | -13.19 | OK    | -15.78 | OK    |
| 10000    | 1200 | 4347.49        | 1335.67         | 4157.82  | 3533333.333 | -4.90    | OK    | -4.37  | OK    | -13.79 | OK    | -16.88 | OK    |
| 12000    | 1300 | 4762.03        | 1463.03         | 4673.79  | 3533333.333 | -5.05    | OK    | -4.22  | OK    | -14.97 | OK    | -18.45 | OK    |
| 14000    | 1500 | 5026.984       | 1544.43         | 5086.02  | 3533333.333 | -3.94    | OK    | -5.29  | OK    | -14.79 | OK    | -18.62 | OK    |
| 16000    | 1550 | 5140.76        | 1579.38         | 5393.38  | 3533333.333 | -3.78    | OK    | -5.44  | OK    | -15.13 | OK    | -19.21 | OK    |
| 16500    | 1700 | 5146.334       | 1581.097        | 5454.355 | 3533333.333 | -2.46    | OK    | -6.70  | OK    | -14.08 | OK    | -18.25 | OK    |

12. Lampiran Bore Log RT





13. Lampiran Perhitungan Daya Dukung

| DIAMETER PONDASI 0,6 M |                          |       |       |                          |       |                                       |  |                         |       |                |                         |                             |                           |                                 |                                 |
|------------------------|--------------------------|-------|-------|--------------------------|-------|---------------------------------------|--|-------------------------|-------|----------------|-------------------------|-----------------------------|---------------------------|---------------------------------|---------------------------------|
| $\phi$ (ren d. tiang)  |                          | =     | 0,6   | m                        |       |                                       |  |                         |       | Ap             | =                       | $1/4 \times \pi \times D^2$ | SF                        | =                               | 3                               |
| Np                     |                          | =     | 4B    | =                        | 2,4   | m                                     | (2,4 m di atas dan di bawah ujung tiang) |                         | As    | =              | $\pi \times D \times L$ |                             |                           |                                 |                                 |
| Kedalaman<br>(m)       | Konsistensi<br>Tanah     | N     | N'    | K<br>(t/m <sup>2</sup> ) | Np    | q <sub>p</sub><br>(t/m <sup>2</sup> ) | Ap<br>(m <sup>2</sup> )                  | Q <sub>p</sub><br>(ton) | Ñs    | q <sub>s</sub> | As<br>(m <sup>2</sup> ) | Q <sub>s</sub><br>(ton)     | Q <sub>ult</sub><br>(ton) | Q <sub>all</sub> tekan<br>(ton) | Q <sub>all</sub> tarik<br>(ton) |
| 2,00                   | silty clay               | 5,00  | 5,00  | 20,39                    | 2,00  | 40,79                                 | 0,28274                                  | 11,533                  | 5,00  | 2,67           | 3,770                   | 10,053                      | 21,586                    | 7,195                           | 3,351                           |
| 4,00                   | silty clay               | 2,00  | 2,00  | 20,39                    | 3,00  | 61,18                                 | 0,28274                                  | 17,299                  | 3,50  | 2,17           | 7,540                   | 16,336                      | 33,635                    | 11,212                          | 5,445                           |
| 6,00                   | silty clay               | 1,00  | 1,00  | 20,39                    | 3,00  | 61,18                                 | 0,28274                                  | 17,299                  | 3,00  | 2,00           | 11,310                  | 22,619                      | 39,918                    | 13,306                          | 7,540                           |
| 8,00                   | silty clay               | 4,00  | 4,00  | 20,39                    | 8,75  | 178,45                                | 0,28274                                  | 50,455                  | 3,00  | 2,00           | 15,080                  | 30,159                      | 80,614                    | 26,871                          | 10,053                          |
| 10,00                  | fine sand                | 18,00 | 16,50 | 12,24                    | 18,25 | 223,31                                | 0,28274                                  | 63,141                  | 6,00  | 3,00           | 18,850                  | 56,549                      | 119,689                   | 39,896                          | 18,850                          |
| 12,00                  | silty clay               | 50,00 | 32,50 | 20,39                    | 22,75 | 463,96                                | 0,28274                                  | 131,183                 | 13,33 | 5,44           | 22,619                  | 123,150                     | 254,333                   | 84,778                          | 41,050                          |
| 14,00                  | fine sand                | 43,00 | 29,00 | 40,79                    | 28,00 | 1142,06                               | 0,28274                                  | 322,911                 | 17,57 | 6,86           | 26,389                  | 180,956                     | 503,867                   | 167,956                         | 60,319                          |
| 16,00                  | silty sand               | 32,00 | 23,50 | 25,49                    | 26,75 | 681,92                                | 0,28274                                  | 192,810                 | 19,38 | 7,46           | 30,159                  | 224,938                     | 417,748                   | 139,249                         | 74,979                          |
| 18,00                  | ditto                    | 34,00 | 24,50 | 25,49                    | 28,00 | 713,79                                | 0,28274                                  | 201,819                 | 21,00 | 8,00           | 33,929                  | 271,434                     | 473,253                   | 157,751                         | 90,478                          |
| 20,00                  | silt with some fine sand | 50,00 | 32,50 | 25,49                    | 23,75 | 605,45                                | 0,28274                                  | 171,186                 | 23,90 | 8,97           | 37,699                  | 338,035                     | 509,221                   | 169,740                         | 112,678                         |
| 22,00                  | silt with some fine sand | 31,00 | 23,00 | 25,49                    | 28,25 | 720,16                                | 0,28274                                  | 203,621                 | 24,55 | 9,18           | 41,469                  | 380,761                     | 584,382                   | 194,794                         | 126,920                         |
| 24,00                  | silt with some fine sand | 33,00 | 24,00 | 25,49                    | 24,50 | 624,57                                | 0,28274                                  | 176,592                 | 25,25 | 9,42           | 45,239                  | 426,000                     | 602,592                   | 200,864                         | 142,000                         |
| 26,00                  | silt                     | 37,00 | 26,00 | 25,49                    | 20,25 | 516,22                                | 0,28274                                  | 145,959                 | 26,15 | 9,72           | 49,009                  | 476,265                     | 622,224                   | 207,408                         | 158,755                         |
| 28,00                  | clayeyb silt             | 18,00 | 16,50 | 12,24                    | 21,75 | 266,14                                | 0,28274                                  | 75,250                  | 25,57 | 9,52           | 52,779                  | 502,655                     | 577,905                   | 192,635                         | 167,552                         |
| 30,00                  | ditto                    | 20,00 | 17,50 | 12,24                    | 16,50 | 201,90                                | 0,28274                                  | 57,086                  | 25,20 | 9,40           | 56,549                  | 531,557                     | 588,644                   | 196,215                         | 177,186                         |

#### 14. Lampiran PC Spun Piles

| Classification        |                     |       |   |                    |              |                       |                         |                            |
|-----------------------|---------------------|-------|---|--------------------|--------------|-----------------------|-------------------------|----------------------------|
| Outside Diameter (mm) | Wall Thickness (mm) | Class | Concrete Cross Section (cm <sup>2</sup> ) | Unit Weight (Kg/m) | Length L (m) | Bending Crack (Ton.m) | Moment Ultimate (Ton.m) | Allowable Axial Load (Ton) |
| 300                   | 60                  | A2    | 452                                       | 113                | 6 - 13       | 2.50                  | 3.75                    | 72.60                      |
|                       |                     | A3    |   |                    |              | 3.00                  | 4.50                    | 70.75                      |
|                       |                     | B     |   |                    |              | 3.50                  | 6.30                    | 67.50                      |
|                       |                     | C     |   |                    |              | 4.00                  | 8.00                    | 65.40                      |
| 350                   | 65                  | A1    | 582                                       | 145                | 6 - 15       | 3.50                  | 5.25                    | 93.10                      |
|                       |                     | A3    |   |                    |              | 4.20                  | 6.30                    | 89.50                      |
|                       |                     | B     |   |                    |              | 5.00                  | 9.00                    | 86.40                      |
|                       |                     | C     |   |                    |              | 6.00                  | 12.00                   | 85.00                      |
| 400                   | 75                  | A2    | 766                                       | 191                | 6 - 16       | 5.50                  | 8.25                    | 121.10                     |
|                       |                     | A3    |   |                    |              | 6.50                  | 9.75                    | 117.60                     |
|                       |                     | B     |   |                    |              | 7.50                  | 13.50                   | 114.40                     |
|                       |                     | C     |   |                    |              | 9.00                  | 18.00                   | 111.50                     |
| 450                   | 80                  | A1    | 930                                       | 232                | 6 - 16       | 7.50                  | 11.25                   | 149.50                     |
|                       |                     | A2    |   |                    |              | 8.50                  | 12.75                   | 145.80                     |
|                       |                     | A3    |   |                    |              | 10.00                 | 15.00                   | 143.80                     |
|                       |                     | B     |   |                    |              | 11.00                 | 19.80                   | 139.10                     |
|                       |                     | C     |   |                    |              | 12.50                 | 25.00                   | 134.90                     |
| 500                   | 90                  | A1    | 1159                                      | 290                | 6 - 16       | 10.50                 | 15.75                   | 185.30                     |
|                       |                     | A2    |   |                    |              | 12.50                 | 18.75                   | 181.70                     |
|                       |                     | A3    |   |                    |              | 14.00                 | 21.00                   | 178.20                     |
|                       |                     | B     |   |                    |              | 15.00                 | 27.00                   | 174.90                     |
|                       |                     | C     |   |                    |              | 17.00                 | 34.00                   | 169.00                     |
| 600                   | 100                 | A1    | 1571                                      | 393                | 6 - 16       | 17.00                 | 25.50                   | 252.70                     |
|                       |                     | A2    |   |                    |              | 19.00                 | 28.50                   | 249.00                     |
|                       |                     | A3    |   |                    |              | 22.00                 | 33.00                   | 243.20                     |
|                       |                     | B     |   |                    |              | 25.00                 | 45.00                   | 238.30                     |
|                       |                     | C     |   |                    |              | 29.00                 | 58.00                   | 229.50                     |
| 800                   | 120                 | A1    | 2564                                      | 641                | 6 - 24       | 40.70                 | 63.60                   | 415.00                     |
|                       |                     | A2    |   |                    |              | 46.20                 | 84.40                   | 406.20                     |
|                       |                     | A3    |   |                    |              | 51.00                 | 97.80                   | 398.20                     |
|                       |                     | B     |   |                    |              | 55.70                 | 108.20                  | 390.80                     |
|                       |                     | C     |   |                    |              | 70.60                 | 129.80                  | 367.60                     |
| 1000                  | 140                 | A1    | 3782                                      | 946                | 6 - 24       | 75.00                 | 117.90                  | 614.00                     |
|                       |                     | A2    |   |                    |              | 82.30                 | 139.80                  | 604.80                     |
|                       |                     | A3    |   |                    |              | 93.30                 | 170.90                  | 590.60                     |
|                       |                     | B     |   |                    |              | 105.70                | 199.70                  | 575.00                     |
|                       |                     | C     |   |                    |              | 123.60                | 229.90                  | 552.90                     |